

**АЗЫ ФИЗИКИ**  
**Очень краткий путеводитель**

**Л. Б. Окунь**  
Институт  
Теоретической и Экспериментальной  
Физики  
Москва, Россия

29 марта 2012 г.

# Предисловие

## 0.1 Для кого написана эта книга\*

Эта книга посвящена основам („азам“) физики

— науки о природе (по-гречески фисис ( $\varphi\upsilon\sigma\iota\varsigma$ ) — природа). В XXI веке основой физики является так называемая стандартная модель элементарных частиц, из которых по законам теории относительности и квантовой теории построено всё сущее.

К сожалению, существующие введения в эти науки из-за их математической сложности недоступны не только школьникам, но и большинству преподавателей физики. Эта маленькая книжечка — попытка максимально просто и кратко изложить основы теории относительности (с её главной константой  $c$ ) и квантовой механики (с её главной константой  $\hbar$ ). Я отчётливо понимаю, что не могу написать её так, чтобы она была понятна человеку, не знающему физики. Поэтому книжка адресована прежде всего профессиональным физикам (особенно молодым) в надежде на то, что кто-то из них использует изложенные в ней идеи при написании простых курсов современной физики и научно-популярных книг и статей.

В отличие от научно-популярных книг, эта книга широко использует математические формулы. Но в отличие от формул в университетских учебниках, формулы, отобранные для этой книги, настолько просты, что для их понимания достаточно знания элементарной математики

в объёме средней школы. Поэтому я уверен, что многие страницы книги будут понятны даже подросткам <sup>1</sup> и помогут тем из них, кто интересуется физикой, постепенно расширять свой научный кругозор. Для этого книга снабжена подробным указателем. Разумеется, из-за своего маленького формата путеводитель не может заменить учебника.

При очень больших скоростях поступательного движения, близких к скорости света  $c$ , и очень малых величинах, характеризующих вращательное и колебательное движение, близких к кванту Планка  $\hbar$ , элементарные частицы материи обладают совершенно необычными свойствами. Но именно необычность их свойств делает окружающий нас мир таким, каков он есть.

Одно из самых лучших научных описаний мира, основанных на теории относительности и квантовой механике, содержится в фундаментальных монографиях Вайнберга [1],[2],[3]. Чтобы рассказать о самом существенном в этих науках, мне пришлось отбирать не только самые простые формулы, но и отказаться от упоминания многих сложных понятий, разъяснению которых посвящены эти и многие другие курсы современной физики.

## 0.2 О содержании отдельных глав

В теории относительности фундаментальным является соотношение между энергией  $E$ , импульсом  $\mathbf{p}$  и массой  $m$  свободной частицы. Как подробно разъясняется в главе 4, это соотношение позволяет с единой точки зрения понимать как свойства безмассовых частиц света — фотонов, так и свойства массивных частиц (масса которых отлична от нуля), например, электронов. Согласно квантовой механике, все частицы одного сорта, например, все электроны во вселенной, абсолютно тождественны. Соответственно должны быть одинаковы их массы.

<sup>1</sup>Соответствующие разделы помечены знаком \*

К сожалению, широко распространённое в научно-популярной литературе уравнение  $E = mc^2$ , интерпретируемое как зависимость массы частицы  $m$  от её скорости  $v$ , даёт ложное представление о том, что такое масса. Закрепляется это ложное представление тем, что массу называют массой покоя и обозначают  $m_0$ , что разрывает связь между теорией относительности и механикой Ньютона, являющейся предельным случаем теории относительности при малых скоростях.

Фундаментальную роль в устройстве природы играет спин (т.е. собственный угловой момент) частицы. Как объясняется в главе 5, величину спина обычно выражают в единицах  $\hbar$ . Частицы, спин которых равен целому числу  $\hbar$ , называются бозонами. Частицы, спин которых равен полуцелому числу  $\hbar$ , называются фермионами. Поведение частиц в системе, состоящей из двух или большего числа фермионов радикально не похоже на поведение частиц в системе, состоящей из двух или большего числа бозонов.

Как рассказано в главе 9, свойства атомов в ПерIODической системе элементов определяются тем, что спин электрона равен  $\frac{1}{2}\hbar$ .

Спин фотона равен  $1\hbar$ . Электроны взаимодействуют друг с другом и с другими электрически заряженными частицами, обмениваясь фотонами. (Теория взаимодействия фотонов с электронами называется квантовой электродинамикой (КЭД). КЭД является наиболее совершенной теорией, проверенной на опыте с точностью до десяти значащих цифр.) Аналогично, обмен гравитонами — безмассовыми частицами со спином  $2\hbar$  — объясняет гравитацию.

В отличие от изложения большинства учебников по квантовой механике, в основу нашего изложения положено не сравнительно сложное понятие волновой функции физической системы (например, атома), а гораздо более простое понятие элементарного квантового состо-

нения этой системы (например, уровня атома), которое характеризуется значениями нескольких квантовых чисел. Смотрите главу 5.

Как показано в главе 6, это позволяет ввести амплитуду перехода между двумя квантовыми состояниями. Квадрат модуля амплитуды определяет вероятность перехода (распада возбуждённого состояния атома с испусканием фотона) для ансамбля одинаковых состояний. При этом распад конкретного атома — процесс абсолютно случайный, и момент времени, когда произойдёт этот распад, в принципе предсказан быть не может. Такой подход устраняет многие трудности интерпретации квантовой механики, связанные с проблемой измерения (редукции волновой функции).

С другой стороны, он даёт возможность выделить те квантовые аспекты, которые не связаны с процедурой измерения, и тем самым выйти за рамки представлений о квантовой механике как о науке, только связывающей результаты измерений.

Ещё одно отличие этой книги заключается в том, что в ней обычное гравитационное взаимодействие рассматривается как квантовый процесс обмена гравитонами. Константа Ньютона  $G_N$  вместе с константами  $\hbar$  и  $c$  определяет так называемую массу Планка  $m_P = (\hbar c/G_N)^{\frac{1}{2}} \approx 2,2 \cdot 10^{-5}$  грамм. Теория, описывающая гравитационное взаимодействие при энергиях порядка  $m_P c^2$ , пока не построена, но при всех доступных опыту энергиях правильность описания гравитации как обмена гравитонами подтверждается опытом. Смотрите главу 16.

### 0.3 Два маяка \*

Я пишу эту книгу в надежде, что даже частичное знакомство с ней будет полезно молодым людям и поможет им найти своё место в этом быстро меняющемся и во многом очень непонятном мире. Моя основная мысль заключается в том, что истина существует и к ней можно подойти

гораздо ближе, чем это кажется многим. В физике есть несколько незыблемых и простых истин, доступных всем думающим людям. Эти истины добыты человечеством при изучении природы в основном в течение последних ста лет.

На первый взгляд, наука так разрослась, разветвилась и специализировалась, что усвоить её основы неспециалисту, стремящемуся понять, как устроен мир, невозможно. Стремительное развитие интернета обрушивает на нас небывалые потоки информации и дезинформации. Разобраться в них нельзя, если не усвоить физический смысл констант  $c$  и  $\hbar$ . Эти две мировые константы, как две путеводные звезды, помогут Вам найти свой путь к пониманию природы. Выбор именно этих самых фундаментальных констант природы в качестве научных маяков позволит Вам постепенно находить единомышленников и устанавливать критерии истины в конкретных ситуациях.

Ньютон сравнивал себя с мальчиком, стоящим на берегу океана непознанного. С тех пор физика неизмеримо выросла, и область познанного стала огромной. Некоторые современные учёные считают, что область непознанного стала меньше области познанного. Не знаю, так ли это, но считаю очень важным отделить то, что твёрдо установлено, от того, что лишь кажется правдоподобным.

Необходимо отделять хорошо установленные и понятые явления и свойства (такие, например, как свойства атомов и их ядер или основные свойства Солнечной системы) от гораздо более сложных вопросов (таких, как возникновение Вселенной или поведение гравитационного взаимодействия на планковской шкале, где оно сильнее всех других взаимодействий). Такие теории как механика Ньютона, электродинамика Максвелла, квантовая механика, теория относительности, будут справедливыми всегда. Здесь возможны лишь такие прояснения, которые не меняют основных математических соотношений

## ПРЕДИСЛОВИЕ

между физическими величинами, но уточняют область применимости этих соотношений и обосновывают выбор входящих в них величин. В отличие от этого, слишком далёкие теоретические экстраполяции могут не подтвердиться дальнейшими измерениями.

## 0.4 Благодарности

Я благодарен Э. Г. Гуляевой и Б. Л. Окуню за неоценимую поддержку при написании этой книги, а проф. К. К. Фуа за приглашение опубликовать в издательстве World Scientific перевод книги на английский язык — ABC of Physics: A Very Short Guide — до того, как была начата работа над русским текстом.

Я благодарен также М. Я. Амусья, А. Е. Бондарю, М. Б. Волошину, С. И. Годунову, Ю. Б. Данояну, Д. С. Денисову, А. Д. Долгову, Ю. М. Кагану, М. О. Карлинеру, А. Б. Кожевникову, О. В. Лычковскому, Н. А. Некрасову, М. Е. Пескину, Н. Г. Полухиной, В. Е. Фортову, Ж. М. Фреру, И. Б. Хриповичу, И. С. Цукерману и И. И. Цукерману, прочитавшим рукопись и сделавшим ряд очень полезных замечаний. Эти замечания помогли мне уточнить некоторые недостаточно продуманные формулировки.

Работа поддержана грантом Президента Российской Федерации НШ-4172.2010.2, грантом РФФИ 10-02-01398 и контрактом №02.740.11.5158 Министерства образования и науки Российской Федерации.

Лев Окунь

Москва, Ноябрь 2011

# Оглавление

<b>Предисловие</b>	<b>i</b>
0.1 Для кого написана эта книга*	i
0.2 О содержании отдельных глав	ii
0.3 Два маяка *	iv
0.4 Благодарности	vi
<b>1 Основы основ</b>	<b>1</b>
1.1 Об интуиции *	1
1.2 Пространство и время *	2
1.3 Материя и вещество *	2
1.4 Движение *	3
<b>2 Единицы</b>	<b>4</b>
2.1 Стандарты *	4
2.2 Округлость и углы *	4
2.3 Единицы времени и длины *	4
<b>3 Минимум математики</b>	<b>6</b>
3.1 Царица, служанка и барьер *	6
3.2 Четыре действия школьной математики и мнимая единица *	6
3.3 Степени десяти *	7
3.4 Префиксы степеней десяти	7
3.5 Дифференцирование и интегрирование	7
3.6 Матрицы	8

<b>4 Поступательное движение</b>	<b>9</b>
4.1 Свободная частица *	9
4.2 Максимальная скорость $c$ *	9
4.3 Энергия и импульс частицы *	10
4.4 Кинетическая и потенциальная энергия в механике Ньютона *	10
4.5 Импульс в механике Ньютона*	11
4.6 Пространство и время в релятивистской механике *	12
4.7 Энергия и импульс в релятивистской механике *	14
4.8 Масса частицы *	15
4.9 Энергия покоя *	15
4.10 Безмассовый фотон *	15
4.11 Массы электрона и протона*	15
<b>5 Вращение и квантование</b>	<b>16</b>
5.1 Спиновое и орбитальное вращение *	16
5.2 О векторах и тензорах	17
5.3 Орбитальный момент в теории относительности	17
5.4 Тождественность частиц *	18
5.5 Квантование $S$ и $L$ *	18
5.6 Ещё о спине *	19
5.7 Фермионы и бозоны *	19
5.8 Элементарное квантовое состояние *	20
5.9 Связанные состояния *	20
<b>6 Частицы как корпускулы и волны</b>	<b>21</b>
6.1 Волновой вектор *	21
6.2 Волновая функция *	22
6.3 Амплитуда вероятности *	22
6.4 Роль случая при распадах *	23
6.5 Роль случая в опытах с двумя щелями	23
6.6 Соотношения неопределённости *	24
6.7 „Правильные“ и „неправильные“ вопросы *	24
6.8 Уравнение Шрёдингера	25

6.9 Уравнение Клейна-Фока-Гордона	25
6.10 Уравнение Дирака	26
6.11 Действие	27
<b>7 Опять про единицы</b>	<b>29</b>
7.1 Единицы: эксперимент и теория *	29
7.2 О системе единиц СИ *	29
7.3 Электрон-вольт *	30
7.4 Единицы, в которых $c, \hbar = 1$ *	30
7.5 О выборе системы единиц *	30
<b>8 Атом водорода</b>	<b>31</b>
8.1 О потенциальной энергии *	31
8.2 Взаимодействие электрона и протона *	32
8.3 Главное квантовое число *	32
8.4 Масса квантового состояния *	33
8.5 Орбитальное квантовое число*	33
8.6 Проекция $L$ и $S$ *	33
8.7 Испускание и поглощение света *	34
<b>9 Периодическая система химических элементов</b>	<b>35</b>
9.1 От протонов к нуклонам *	35
9.2 Принцип Паули *	36
9.3 Горизонтальные периоды таблицы элементов *	36
9.4 Первый период	37
9.5 Второй и третий периоды	37
9.6 Четвёртый и пятый периоды	37
9.7 Шестой и седьмой периоды	37
9.8 8 групп и 18 вертикальных столбцов таблицы	38
<b>10 Вещество</b>	<b>40</b>
10.1 Молекулы *	40
10.2 Газы *	40
10.3 Число Лошмидта *	41
10.4 Температура *	41

10.5	Ещё раз о мировых константах . . . . .	41
10.6	Конденсированное вещество* . . . . .	42
10.7	Кристаллизация . . . . .	42
10.8	Фазовые переходы . . . . .	43
10.9	Сверхтекучесть и сверхпроводимость . . . . .	43
10.10	Квазичастицы . . . . .	44
<b>11</b>	<b>Квантовая электродинамика</b> . . . . .	<b>45</b>
11.1	КЭД * . . . . .	45
11.2	КЭД от Дирака до Фейнмана * . . . . .	45
11.3	Лэмбовский сдвиг . . . . .	46
11.4	Позитрон и другие античастицы * . . . . .	46
11.5	Диаграммы Фейнмана * . . . . .	47
11.6	Вспять во времени . . . . .	48
11.7	Античастицы * . . . . .	49
11.8	Позитроний * . . . . .	49
11.9	Нормальный магнитный момент электрона . . . . .	50
11.10	Аномальный магнитный момент электрона: $g-2$ . . . . .	51
11.11	Бегущая константа . . . . .	51
11.12	Перенормируемость КЭД . . . . .	52
<b>12</b>	<b>Переход к классической теории</b> . . . . .	<b>53</b>
12.1	Частицы или поля? * . . . . .	53
12.2	Квазиклассика и классический предел * . . . . .	54
12.3	Напряжённость поля и индукция . . . . .	54
12.4	Электрическая и магнитная проницаемости вакуума * . . . . .	54
<b>13</b>	<b>Гравитация, Земля, Солнце, Галактика</b> . . . . .	<b>56</b>
13.1	Верх и низ * . . . . .	56
13.2	Земля * . . . . .	56
13.3	Внутреннее строение Земли* . . . . .	57
13.4	Температура Земли . . . . .	57
13.5	Угол наклона земной оси * . . . . .	57
13.6	Закон Ньютона * . . . . .	58
13.7	Солнечная система * . . . . .	58

13.8	Жизнь Солнца * . . . . .	59
13.9	Звёзды нашей Галактики * . . . . .	59
13.10	Парсек . . . . .	60
13.11	Сверхновые звёзды . . . . .	60
<b>14</b>	<b>Другие галактики</b> . . . . .	<b>62</b>
14.1	Открытие галактик * . . . . .	62
14.2	Разбегание галактик * . . . . .	62
14.3	Красное и синее кинематическое смещение * . . . . .	63
14.4	Гравитационное смещение * . . . . .	63
14.5	Квезары и гамма-всплески . . . . .	63
<b>15</b>	<b>Большой взрыв</b> . . . . .	<b>65</b>
15.1	Расширяющаяся Вселенная* . . . . .	65
15.2	Остывающая Вселенная* . . . . .	65
15.3	Космическое микроволновое излучение СМВ . . . . .	66
15.4	Тёмная материя . . . . .	66
15.5	Тёмная энергия . . . . .	67
<b>16</b>	<b>Квантовая гравитодинамика</b> . . . . .	<b>68</b>
16.1	ОТО: три канонических эффекта * . . . . .	68
16.2	Гравитон и КГД * . . . . .	69
16.3	Неперенормируемость КГД . . . . .	69
16.4	Гравитационный радиус и чёрные дыры . . . . .	70
16.5	Принцип эквивалентности? . . . . .	71
16.6	Шкала Планка . . . . .	71
<b>17</b>	<b>Внутриядерные силы</b> . . . . .	<b>73</b>
17.1	Альфа, бета и гамма лучи * . . . . .	73
17.2	Сильное взаимодействие * . . . . .	73
17.3	Изотопический спин . . . . .	74
17.4	Слабое взаимодействие * . . . . .	74
17.5	Нейтрино и четырёхфермионное взаимодействие * . . . . .	74
17.6	Деление ядер * . . . . .	75
17.7	Слияние ядер * . . . . .	75
17.8	От ядер к частицам * . . . . .	75

<b>18 Частицы в космических лучах</b>	<b>76</b>
18.1 Позитрон *	76
18.2 Мюон *	76
18.3 Три пиона *	77
18.4 Странные частицы *	77
18.5 Странность	78
<b>19 Частицы на ускорителях</b>	<b>79</b>
19.1 Открытие барионных резонансов и анти- нуклонов *	79
19.2 Модель Сакаты	79
19.3 Модель трёх сакатонов	80
19.4 Октет и синглет псевдоскалярных мезонов	80
19.5 Девять векторных мезонов	81
19.6 Октет барионов *	81
19.7 Декуплет барионов	81
19.8 Рочестерская конференция в ЦЕРНе, 1962	82
19.9 Три кварка *	82
<b>20 Три дискретные симметрии</b>	<b>83</b>
20.1 Операции С,Р,Т *	83
20.2 Несохранение зеркальной симметрии Р *	84
20.3 Несохранение зарядовой симметрии С *	84
20.4 Гипотеза о сохранении СР симметрии	85
20.5 Сохраняющийся векторный ток	85
20.6 V-A ток и частицы с левой спиральностью	85
20.7 Спиральность и киральность*	86
20.8 Несохранение СР *	86
20.9 Зеркальные частицы как первый вариант тёмной материи	87
<b>21 Спустя полвека</b>	<b>88</b>
21.1 Шесть кварков *	88
21.2 Шесть лептонов *	88
21.3 Три поколения *	88
21.4 Электрослабые бозоны *	89
21.5 Глюоны *	89

21.6 Все фундаментальные бозоны *	90
<b>22 О квантовой хромодинамике</b>	<b>91</b>
22.1 Цвет и SU(3) симметрия *	91
22.2 Цветные кварки *	91
22.3 Цветные глюоны *	92
22.4 Конфайнмент *	92
22.5 Массы нуклонов	92
22.6 Киральный предел *	93
22.7 Массы пионов	93
22.8 Массы других кварков	94
22.9 КХД амплитуды в физике коллайдеров	94
<b>23 Об электрослабой теории</b>	<b>95</b>
23.1 Промежуточные бозоны *	95
23.2 Игрушечная модель SU(2) × U(1)	96
23.3 Фотон и Z-бозон в модели SU(2) × U(1)	96
23.4 Первый шаг к реалистичной модели	97
23.5 Второй и последний шаг	98
23.6 Дублет скалярных полей	98
23.7 Спонтанное нарушение симметрии SU(2)×U(1)	99
23.8 Конденсат и массы фундаментальных частиц	99
23.9 Поиски хиггса *	100
23.10 Большой Адронный Коллайдер *	100
23.11 Лето 2011: результаты поисков хиггса	101
<b>24 Суперсимметрия</b>	<b>102</b>
24.1 Спинорный генератор	102
24.2 Спинорно-флейворные генераторы	103
24.3 Лето 2011: Результаты поисков лёгких су- перчастиц	103
24.4 Перспективы	104
<b>25 Великое объединение</b>	<b>105</b>
25.1 Бег трёх констант	105
25.2 SU(5) симметрия	106
25.3 Распад протона и нейтрона	106



## ОГЛАВЛЕНИЕ

25.4 Другие симметрии . . . . .	107
<b>26 Вблизи массы Планка</b>	<b>108</b>
26.1 Суперструны . . . . .	108
26.2 Десять измерений пространства . . . . .	109
26.3 М-теория . . . . .	110
26.4 Анти - де Ситтер . . . . .	110
<b>27 Заключительные замечания</b>	<b>111</b>
27.1 „Солнце всходит и заходит“* . . . . .	111
27.2 О преподавании физики * . . . . .	112
27.3 О трагической судьбе SSC * . . . . .	112
27.4 LHC и перспективы * . . . . .	113
27.5 О сути и истине в науке * . . . . .	114
<b>28 Постскрипtum 1</b>	<b>116</b>
<b>29 Постскрипtum 2</b>	<b>118</b>
<b>Указатель</b>	<b>125</b>

## Глава 1

# ОСНОВЫ ОСНОВ

### 1.1 Об интуиции \*

Цель этой книги — на ста с чем-то страницах объяснить, каким образом современная физика элементарных частиц позволяет понять, как устроен окружающий нас мир. В основе всего мироздания лежат две мировые константы: максимальная скорость прямолинейного и равномерного перемещения  $c$  и минимальный квант вращательного и колебательного движения  $\hbar$ . Слова „прямолинейное равномерное“ наводят на мысль о неограниченном, бесконечном движении в пространстве и о линейности времени (философия Запада). Вращение говорит нам о цикличности времени и ограниченности, финитности движения (философия Востока).

Я буду говорить не о философии, а о том, как физики количественно описывают свои наблюдения и опыты, опираясь на интуицию. Основная трудность современной физики заключается в том, что понятия максимальной скорости и минимального кванта для тех, кто не занимается фундаментальной физикой, крайне антиинтуитивны.

## 1.2 Пространство и время \*

Наше пространство трёхмерно: любой наблюдатель может представить себе систему координат — три взаимно ортогональных оси: сзади-вперёд ( $x$ ), слева-направо ( $y$ ), снизу-вверх ( $z$ ). Себя наблюдатель обычно помещает в начало координат.

Пусть наблюдатель следит за движущейся частицей. Положение частицы в момент времени  $t$  он характеризует радиус-вектором  $\mathbf{r}$  с его тремя координатами:  $x, y, z$ . Систему координат плюс время  $t$  называют системой отсчёта. Все точки в пространстве и времени равноправны: пространство и время однородны. Кроме того, пространство изотропно: тройку осей можно ориентировать произвольным образом. При этом модуль радиус-вектора не меняется:  $r \equiv |\mathbf{r}| = \text{const}$ .

## 1.3 Материя и вещество \*

Любое изменение в движении или поведении частицы — это акт проявления элементарных (т. е. самых маленьких и неделимых) частиц материи. Мы начнём с трёх элементарных частиц материи: фотона  $\gamma$ , электрона  $e$  и протона  $p$ . Выясним сначала, как в результате их взаимодействия появляется простейший атом водорода. Затем рассмотрим другие атомы и, постепенно углубляясь, познакомимся с остальными элементарными частицами.

До сих пор в литературе нет единой точки зрения на то, что называть веществом, а что материей. Многие авторы называют материальными частицами только те частицы, у которых есть масса. Достаточно вспомнить термин „материальная точка“ который широко используется многими авторами (см. например книгу Вайнберга [1]), когда речь идёт о „массивных точках“ — телах, размерами которых в той или иной задаче можно пренебречь. Фотоны для этих авторов — это частицы не материи, а радиации. Вопрос о том, что как называть, постепенно

решится. Пока же я буду называть все частицы, включая фотоны, частицами материи. А веществом буду называть атомы и всё, что построено из них.

## 1.4 Движение \*

Движение — это перемещение частицы в пространстве. Если движение поступательное (т.е. равномерное и прямолинейное), то скорость  $\mathbf{v}$  перемещения определяется формулой  $\mathbf{v} = \mathbf{r}/t$ , где  $\mathbf{r}$  — пройденный путь, а  $t$  — время, затраченное на него. Определение скорости в случае произвольного движения будет дано немного позднее.

= 60 секунд. Хотя в одном часе, как и в одном угловом градусе, содержится 60 минут и 3600 секунд, но на этом сходство между угловыми и временными единицами заканчивается.

Измерение расстояния производится сравнением с известным эталоном длины. За единицу длины обычно принимают один метр.

## Глава 2

# Единицы

### 2.1 Стандарты \*

Всякое измерение есть сравнение того, что измеряют, с известным стандартом. Те общепринятые стандарты, с которыми происходит сравнение, называют единицами.

### 2.2 Окружность и углы \*

Углы измеряют в градусах (минутах и секундах) или в радианах. Угловой градус: ( $1^\circ$ ) — это угол, под которым из центра окружности видна дуга, равная длине окружности, делённой на 360 частей. Угловая минута:  $1' = 1^\circ / 60$ . Угловая секунда:  $1'' = 1' / 60$ . Как известно, отношение длины окружности к её радиусу равно  $2\pi$ , где  $\pi \approx 3,14$ . Один радиан  $= 360^\circ / 2\pi \approx 57^\circ$  — это угол, отвечающий дуге, длина которой равна радиусу.

### 2.3 Единицы времени и длины \*

Измерение времени производится сравнением с известными периодическими процессами. Исторически единицы времени связаны с суточным вращением Земли. Одни сутки = 24 часа. Один час = 60 минут. Одна минута

## Глава 3

# Минимум математики

### 3.1 Царица, служанка и барьер \*

Говорят, что математика является царицей и служанкой всех естественных наук. Она же является и мощным барьером при знакомстве с этими науками. Именно поэтому в научно-популярных книгах и статьях принято не пользоваться математическими обозначениями. Мне кажется, что объяснить современную физику без математики невозможно. Я постараюсь обойтись минимумом математических знаний. Но этот минимум необходим.

### 3.2 Четыре действия школьной математики и мнимая единица \*

Для понимания законов природы нам понадобятся два типа арифметических действий: 1) сложение/вычитание, 2) умножение/деление, и два типа алгебраических действий: 3) возведение в степень, и 4) логарифмирование. Послед-

нее нам понадобится не скоро. Также необходимым будет понятие мнимой единицы  $i = \sqrt{-1}$  и комплексного числа.

### 3.3 Степени десяти \*

При изучении природы мы постоянно сталкиваемся с очень большими или очень маленькими числами, которые удобно изображать с помощью степеней десяти. Так, скорость света равна  $3 \cdot 10^5$  км/с =  $3 \cdot 10^8$  м/с, а размер атома порядка  $10^{-10}$  м. В отличие от авторов научно-популярных книг, я не буду использовать выражения типа „тысячные миллионные доли“, а буду писать  $10^{-9}$ .

### 3.4 Префиксы степеней десяти

Многие физические термины включают в себя следующие префиксы:

Дека	$10^1$	da	Деци	$10^{-1}$	d
Гекто	$10^2$	h	Сант	$10^{-2}$	c
Кило	$10^3$	k	Милли	$10^{-3}$	m
Мега	$10^6$	M	Микро	$10^{-6}$	$\mu$
Гига	$10^9$	G	Нано	$10^{-9}$	n
Тера	$10^{12}$	T	Пико	$10^{-12}$	p
Пета	$10^{15}$	P	Фемто	$10^{-15}$	f
Экза	$10^{18}$	E	Атто	$10^{-18}$	a
Зетта	$10^{21}$	Z	Зепто	$10^{-21}$	z
Йотта	$10^{24}$	Y	Йокто	$10^{-24}$	y

### 3.5 Дифференцирование и интегрирование

При произвольном движении скорость движения определяется как производная от расстояния по времени:  $\mathbf{v} = d\mathbf{r}/dt$ . Величина  $dt$  означает достаточно маленькую („бесконечно малую“) разность между двумя очень близкими моментами времени. Аналогичный смысл имеет  $d\mathbf{r}$  — это разность между двумя близкими точками в пространстве. При этом бесконечно малое расстояние

между двумя точками в пространстве делится на бесконечно малый промежуток времени, давая в результате конечную скорость движения. Эта операция называется дифференцированием. Интегрирование является операцией, обратной дифференцированию:  $\mathbf{r} = \int \mathbf{v} dt$ . Пока эти операции нам не понадобятся. Читателю, как знакомому с понятиями дифференцирования и интегрирования, так и не знакомому с ними, очень полезно время от времени заглядывать в замечательную книгу Якова Борисовича Зельдовича [4].

### 3.6 Матрицы

Ещё при изучении квантовой механики нам придётся познакомиться с матрицами. Особо важную роль играют матрицы Паули и матрицы Дирака.

## Глава 4

# Поступательное движение

### 4.1 Свободная частица \*

Представление о свободном теле или частице несомненно является идеализацией, абстракцией. Но исключительно плодотворной абстракцией. Свободной мы называем частицу, на которую не действуют внешние силы. Если она покоилась, то будет продолжать покоиться; если двигалась с некоторой скоростью, то будет продолжать двигаться по инерции с той же скоростью в том же направлении. То, что обычные тела вокруг нас останавливаются через некоторое время, обусловлено тем, что они не свободны, а тормозятся другими телами.

### 4.2 Максимальная скорость $c$ \*

Замечательный результат последних двух-трёх веков — установление того факта, что в природе существует максимальная скорость поступательного перемещения в пустоте, равная скорости света  $c \approx 300\,000$  км/с (более точно  $c = 299\,792\,458$  м/с; по существу это равенство

связывает между собой определения метра и секунды).

### 4.3 Энергия и импульс частицы \*

Прямолинейное и равномерное движение, каким является движение свободной частицы, характеризуется двумя сохраняющимися во времени величинами: её энергией  $E$  и её импульсом  $\mathbf{p}$ . Энергия является скалярной величиной, а импульс — векторной величиной, имеющей направление в пространстве. Сохранение энергии является следствием однородности времени, а сохранение импульса является следствием однородности пространства. Об этом в дальнейшем сказано более подробно.

Энергию обычно определяют как общую меру всех процессов, а импульс — как общую меру движения. Но эти определения недостаточно конкретны, чтобы с ними можно было работать. Всё развитие математики и физики за последний век таково, что определения основных понятий становятся всё более трудными, зато операции с ними и доказательства становятся всё более лёгкими. Это в полной мере относится и к энергии и импульсу. По-видимому, оптимальный путь работы с ними заключается в том, чтобы выписать основные формулы для них и постепенно выяснить, как они согласуются с представлениями, привычными для читателя. Начнём с механики Ньютона.

### 4.4 Кинетическая и потенциальная энергия в механике Ньютона \*

Кинетическая энергия свободного тела в механике Ньютона определяется как величина  $E_K$ :

$$E_K = m\mathbf{v}^2/2 = \mathbf{p}^2/2m. \quad (4.1)$$

Если тело не свободно, а находится в некотором силовом поле, то наряду с кинетической энергией  $E_K$  оно обладает потенциальной энергией  $U$ . Например, стоящая на столе кружка обладает потенциальной энергией, превышающей потенциальную энергию кружки на полу на величину  $U = mgh$ , где  $m$  — масса кружки,  $g \approx 10\text{м/с}^2$  — ускорение земного притяжения, а  $h$  — высота стола. При падении потенциальная энергия переходит в кинетическую, так что сумма обеих энергий  $E = U + E_K$  останется неизменной. Аналогичным образом мельчайшая электрически заряженная частица — электрон — пройдя разность потенциалов в один вольт изменит свою кинетическую энергию на один электрон-вольт: эВ.

### 4.5 Импульс в механике Ньютона\*

Термин импульс имеет много различных смыслов, но нас будут интересовать два: 1) кратковременный толчок, приводящий тело в движение, 2) векторная величина  $\mathbf{p}$ , имеющая три компоненты  $p_x, p_y, p_z$  и характеризующая движущееся тело. Как было осознано Галилеем и Ньютоном, свободное изолированное тело, получившее импульс, двигалось бы в пустоте равномерно и прямолинейно неограниченно долго. (То, что в нашей повседневной жизни импульс тел не сохраняется и тела не движутся неограниченно долго, а рано или поздно останавливаются, обусловлено воздействием на них других тел.)

В механике Ньютона импульс тела связан с его скоростью соотношением  $\mathbf{p} = m\mathbf{v}$ .

Положение тела  $\mathbf{r}'$  в момент  $t$  связано с его положением  $\mathbf{r}$  в момент  $t = 0$  преобразованием<sup>1</sup> Галилея:

<sup>1</sup>Здесь речь идёт об активном преобразовании, когда меняется положение объекта, а не система координат.

$$\mathbf{r}' = \mathbf{r} + \mathbf{v}t \quad (4.2)$$

Это преобразование явно исходит из молчаливого предположения о том, что время  $t$  не зависит от системы отсчёта. Как мы увидим сейчас, это предположение противоречит существованию в природе предельной скорости движения.

Действительно, если тот же самый первоначальный импульс придать в 10 раз более лёгкому телу, то его скорость была бы в 10 раз больше, и за тот же самый отрезок времени оно прошло бы в 10 раз больший путь.

Повторим теперь операцию по уменьшению массы частицы в 10 раз. Теперь её скорость в механике Ньютона выросла бы в 100 раз. В механике Ньютона эту операцию можно производить всё с тем же десятикратным увеличением скорости неограниченное число раз. Но примите во внимание, что в природе существует предельная скорость  $c = 3 \cdot 10^8$  м/с. Тогда задолго до приближения к этому пределу приращение скорости должно начать уменьшаться. Должно измениться также и приращение кинетической энергии. И, следовательно, механика Ньютона должна уступить место какой-то иной механике. Её называют релятивистской механикой или теорией относительности Эйнштейна. Основной вклад в её создание внесли последовательно Лоренц, Пуанкаре, Эйнштейн и Минковский. Механика Ньютона (нерелятивистская механика) является частным случаем теории относительности при скоростях тел, малых по сравнению со скоростью света.

## 4.6 Пространство и время в релятивистской механике \*

Итак, когда скорость тела приближается к максимальному значению  $c$ , нерелятивистская механика Ньютона становится совершенно неприменимой и должна уступить место релятивистской механике.

Преобразование координат Галилея было заменено на преобразование Лоренца:

$$\begin{aligned} \mathbf{r}' &= \gamma(\mathbf{r} + \mathbf{v}t) \\ t' &= \gamma(t + \mathbf{r}\mathbf{v}/c^2), \end{aligned} \quad (4.3)$$

где

$$\gamma = 1/\sqrt{1 - v^2/c^2}. \quad (4.4)$$

Нетрудно видеть, что при  $v/c \rightarrow 0$  преобразования Лоренца переходят в преобразования Галилея, в котором  $t' = t$ . Из преобразований Лоренца следовало, что при движении тела меняются не только его пространственные координаты, но и его временная координата. Как заметил Минковский, введший понятие четырёхмерного пространства,  $ct$  и  $\mathbf{r}$  становятся компонентами одного четырёхмерного вектора. Разность квадратов его временной и пространственной компонент определяют инвариантную величину, которую называют квадратом интервала  $s$ :

$$s^2 = c^2t^2 - \mathbf{r}^2. \quad (4.5)$$

Четырёхмерное пространство в отличие от обычного трёхмерного пространства называют не евклидовым, а псевдоевклидовым, поскольку инвариантна в нём не сумма, а разность квадратов. Заметим, что разность легко превратить в сумму, если вместо  $t$  рассмотреть  $it$ . В силу изотропности такого пространства Минковского величина четырёхмерного интервала  $s$ , определяемого формулой (4.5), не меняется не только при вращениях в трёх пространственных плоскостях  $xy, yz, zx$ , но и в трёх пространственно-временных плоскостях  $xt, yt, zt$ . Как нетрудно увидеть, три последних „мнимых вращения“ отвечают равномерным и прямолинейным движениям вдоль осей  $x, y, z$ .

## 4.7 Энергия и импульс в релятивистской механике \*

Аналогично, в силу изотропности четырёхмерного пространства, энергия и импульс частицы  $E/c$  и  $\mathbf{p}$  образуют четырёхмерный вектор энергии-импульса, или, как говорят иначе, 4-импульс. Квадрат этого 4-импульса равен квадрату массы частицы, умноженному на  $c^2$ :

$$m^2 c^2 = E^2/c^2 - \mathbf{p}^2. \quad (4.6)$$

То, что предложил более века тому назад Эйнштейн, для свободного тела с ненулевой массой  $m$  можно свести к простой формуле

$$E = E_0 + E_K, \quad (4.7)$$

если, наряду с понятием кинетической энергии  $E_K$ , ввести также понятие энергии покоя  $E_0 = mc^2$  и понятие полной энергии свободного тела  $E$ .

Скорость свободной частицы связана при этом с её импульсом и энергией соотношением

$$\mathbf{p} = \mathbf{v}E/c^2. \quad (4.8)$$

Или по-иному

$$\mathbf{v} = \mathbf{p}c^2/E. \quad (4.9)$$

Так что с ростом полной энергии тела прирост его скорости становится всё меньше, и она стремится к предельной величине  $c$ . Но это означает, что формула Ньютона для кинетической энергии (4.1) становится неприменима при  $|\mathbf{v}| \approx c$ .

Замечательным свойством формул (4.6) - (4.9) является то, что они применимы не только к массивным частицам, но и к сколь угодно лёгким частицам, и к частицам с массой, равной нулю.

## 4.8 Масса частицы \*

Возникает и другой взгляд на массу тела или частицы. Все частицы данного типа (например, все электроны) абсолютно тождественны и имеют одну и ту же массу  $m$ . Для свободной частицы

$$m^2 = E^2 c^{-4} - \mathbf{p}^2 c^{-2}. \quad (4.10)$$

## 4.9 Энергия покоя \*

Если свободная частица покоится, то энергия покоя этой частицы даётся формулой

$$E(\mathbf{p} = 0) \equiv E_0 = mc^2. \quad (4.11)$$

Если частица движется медленно, то для неё  $E \approx E_0$  и из формул (4.7) и (4.8) следует приближённое равенство  $\mathbf{p} \approx m\mathbf{v}$ , которое в ньютоновской физике приобретает вид  $\mathbf{p} = m\mathbf{v}$ .

## 4.10 Безмассовый фотон \*

Из астрономических наблюдений следует, что масса фотона очень мала:  $m_\gamma < 10^{-51}$  г. Поэтому принято считать, что масса фотона равна нулю. Тогда из уравнения (4.6) следует, что абсолютная величина импульса фотона прямо пропорциональна его энергии:  $|\mathbf{p}| = E/c$ , а из уравнения (4.9), что его скорость всегда равна  $c$ . Свободный фотон покоиться не может, он всегда летит со скоростью света.

## 4.11 Массы электрона и протона\*

Масса электрона  $m_e$  известна сейчас с точностью до стомиллионных долей ( $10^{-8}$ ) и равна примерно  $9 \cdot 10^{-28}$  г. Масса протона, известная со сравнимой точностью, примерно в две тысячи раз больше, чем масса электрона:  $m_p \approx 1,7 \cdot 10^{-24}$  г.



## Глава 5

# Вращение и квантование

### 5.1 Спиновое и орбитальное вращение \*

Известны два типа вращения элементарных частиц: спиновое и орбитальное.

Спиновое (собственное) вращение существует у частицы независимо от того, как она перемещается в пространстве. Оно подобно вращению Земли вокруг своей оси. Спиновое вращение характеризуется величиной спинового углового момента  $\mathbf{S}$ .

Орбитальное вращение частицы похоже на вращение Земли вокруг Солнца. Оно характеризуется величиной орбитального углового момента  $\mathbf{L}$ , который равен векторному произведению радиус-вектора  $\mathbf{r}$  от центра вращения до частицы и  $\mathbf{p}$  — импульса частицы:

$$\mathbf{L} = \mathbf{r} \times \mathbf{p}, \quad (5.1)$$

или в компонентах:

$$\begin{aligned} L_x &= yp_z - zp_y, \\ L_y &= zp_x - xp_z, \\ L_z &= xp_y - yp_x. \end{aligned} \quad (5.2)$$

Легко проверить, что если вектор  $\mathbf{r}$  параллелен вектору  $\mathbf{p}$ , то  $\mathbf{L} = 0$ . Во всех остальных конфигурациях  $\mathbf{L} \neq 0$ . Полный угловой момент равен сумме орбитального и спинового:  $\mathbf{J} = \mathbf{L} + \mathbf{S}$ .

Угловой момент называют псевдовектором или аксиальным вектором, поскольку при зеркальном отражении он, в отличие от обычных (полярных) векторов  $\mathbf{r}$  и  $\mathbf{p}$ , знака не меняет. Для  $\mathbf{L}$  это сразу же видно из приведенного выше определения.

Сохранение углового момента изолированной совокупности частиц обусловлено изотропией пространства: в пустом пространстве нет выделенного направления.

### 5.2 О векторах и тензорах

В трёхмерном пространстве скалярное произведение двух векторов представляет собой скаляр, векторное произведение двух векторов представляет собой антисимметричный тензор (он же аксиальный вектор), имеющий три компоненты. Симметричный тензор, построенный из двух векторов, как нетрудно видеть, имеет 5 компонент, а не 6, поскольку не содежит скаляра:  $3 \times 3 = 1 + 3 + 5$ .

### 5.3 Орбитальный момент в теории относительности

В теории относительности три компоненты (5.2) являются частью антисимметричного четырёхмерного тензора,

три другие компоненты которого имеют вид:

$$\begin{aligned} N_x &= ctp_x - xE/c, \\ N_y &= ctp_y - yE/c, \\ N_z &= ctp_z - zE/c, \end{aligned} \quad (5.3)$$

или в векторной форме

$$\mathbf{N} = c\mathbf{t}\mathbf{p} - \mathbf{r}E/c. \quad (5.4)$$

Если векторы  $\mathbf{r}$  и  $\mathbf{p}$  не параллельны друг другу, то  $\mathbf{N} \neq 0$ . Если векторы  $\mathbf{r}$  и  $\mathbf{p}$  параллельны друг другу, то из (5.4) следует

$$c\mathbf{t}\mathbf{p} = \mathbf{r}E/c. \quad (5.5)$$

В случае поступательного движения  $\mathbf{v} = \mathbf{r}/t$ , и мы получаем формулы (4.8) и (4.9).

## 5.4 Тожественность частиц \*

Все элементарные частицы данного типа (например, все электроны) абсолютно тождественны. (В частности, абсолютно одинаковы их массы.) Отсюда тождественность всех атомов данного сорта.

## 5.5 Квантование S и L \*

Замечательным свойством природы является то, что вращение квантовано. В первую очередь это проявляется в том, что квантованы должны быть проекции орбитального углового момента и спина электрона на некую пространственную ось  $z$ . Проекции  $L_z$  и  $S_z$  могут принимать только эквидистантные значения с шагом  $\hbar$ , где  $\hbar = h/2\pi$ , а  $h$  — квант действия, введенный в физику в начале XX века Планком при установлении спектра излучения чёрного тела. Максимальные значения  $L_z$  и  $S_z$  равны  $L_z^{max} = l\hbar$  и  $S_z^{max} = s\hbar$ , где  $l$  и  $s$  называют орбитальным квантовым числом и спиновым квантовым числом соответственно.

Движение и взаимодействие частиц в условиях, когда квантование абсолютно существенно, описывается не механикой Ньютона, а квантовой механикой. Это относится не только к теории элементарных частиц, теории атомов, теории атомных ядер, но и к теории молекул, теории конденсированного состояния.

Согласно квантовой механике, квадрат орбитального углового момента  $\mathbf{L}$  должен удовлетворять соотношению

$$\mathbf{L}^2 = \hbar^2 l(l+1), \quad (5.6)$$

где  $l = 0, 1, 2, \dots$  — орбитальное квантовое число. Каждому значению  $l$  соответствует  $2l+1$  проекций на некоторую ось в пространстве:  $1, 3, 5, \dots$ . См. выше раздел 5.2.

## 5.6 Ещё о спине \*

Хочется сказать, что элементарные частицы похожи на малюсенькие волчки. Но обычный волчок может и не вращаться, а элементарная частица, если её спин отличен от нуля, не вращаться не может. Спин отличается от углового момента орбитального движения тем, что спин имеется и у абсолютно свободной частицы, не совершающей орбитального вращения. Спин частицы играет ключевую роль при образовании систем, содержащих много частиц.

## 5.7 Фермионы и бозоны \*

Все частицы делятся на два больших класса: фермионы (с полуцелым спином  $s$ ) и бозоны (с целым спином  $s$ ). Электрон, спин которого равен  $\frac{1}{2}$ , является фермионом. Фотон, спин которого равен единице, является бозоном. Системы, состоящие из двух или большего числа одинаковых частиц, радикально не похожи друг на друга в зависимости от того, являются ли эти частицы фермионами или бозонами. В данном квантовом состоянии не может быть больше одного фермиона. В данном квантовом состоянии может быть сколь угодно много бозонов.

## 5.8 Элементарное квантовое состояние \*

Очень важным в квантовой механике является понятие элементарного квантового состояния. Элементарное квантовое состояние свободной частицы полностью характеризуется её импульсом и ориентацией её спина. Элементарное квантовое состояние связанной частицы полностью характеризуется несколькими квантовыми числами (см. ниже). Высказанное выше утверждение о тождественности атомов относится, разумеется, к изолированным атомам, находящимся в одинаковых элементарных квантовых состояниях. В дальнейшем я буду для краткости говорить просто о состоянии, хотя наверное лучше было бы вместо слов элементарное квантовое состояние ввести какой-то новый специальный термин, поскольку слово состояние имеет в квантовой механике около дюжины различных смыслов.

## 5.9 Связанные состояния \*

Связанное состояние двух частиц с массами  $m_1$  и  $m_2$  характеризуется массой этого состояния  $m = m_1 + m_2 - \varepsilon/c^2$ , где  $\varepsilon$  — энергия связи. Величина  $\varepsilon/c^2$  называется дефектом массы. В случае связанного состояния любого числа частиц  $\varepsilon$  — это энергия, которую необходимо затратить, чтобы освободить друг от друга все частицы.

# Глава 6

## Частицы как корпускулы и волны

### 6.1 Волновой вектор \*

Константа  $\hbar$  играет важнейшую роль не только во вращении элементарных частиц, но и во всём их поведении. Дело в том, что элементарные частицы, в отличие от обычных частиц (корпускул) классической механики, являются своеобразными „кентаврами“, обладающими одновременно и свойствами корпускул, и свойствами волн.

В квантовой механике состояние свободной частицы характеризуется определённым значением волнового вектора  $\mathbf{k}$ , связанного с импульсом частицы  $\mathbf{p}$  соотношением де Бройля:

$$\mathbf{p} = \hbar \mathbf{k}. \quad (6.1)$$

Величина  $k = |\mathbf{k}|$  называется волновым числом. Она связана с длиной волны  $\lambda$  соотношением

$$k = 2\pi/\lambda. \quad (6.2)$$

В пределе, когда длина волны становится пренебрежимо малой, мы возвращаемся к классической механике

или геометрической оптике. (Разумеется, речь идёт о явлениях, в которых несущественна интерференция.)

Формула, аналогичная (6.1), связывает энергию частицы  $E$  и присущую ей (её волне) круговую частоту  $\omega$ :

$$E = \hbar\omega. \quad (6.3)$$

(Частота  $\nu$  связана с круговой частотой  $\omega$  соотношением  $\nu = \omega/2\pi$ .)

## 6.2 Волновая функция \*

Обычно знакомство с квантовой механикой начинают не с понятия квантового состояния, а с понятия амплитуды вероятности или волновой функции:  $\psi(\mathbf{r}, t)$ , где  $|\psi(\mathbf{r}, t)|^2$  — это вероятность того, что частица имеет данное значение  $\mathbf{r}$  в момент времени  $t$ . При этом, однако, у многих возникает совершенно ложное впечатление, что в квантовой механике, в отличие от классической механики, всё имеет вероятностный характер. На самом же деле, как мы убедимся, квантовая механика во многих отношениях несравнимо более жестка, чем классическая. Наиболее наглядно эта жёсткость проявляется в строении Периодической таблицы химических элементов, для понимания которой достаточно лишь квантовых состояний, а понятие вероятности не нужно. Именно поэтому знакомство с секциями (6.8)-(6.10) в этой главе, описывающими волновые уравнения, для понимания Периодической системы не нужно.

## 6.3 Амплитуда вероятности \*

В течение более двадцати лет квантово-механические амплитуды вероятности вычислялись только путём решения волновых уравнений, о которых более подробно будет сказано ниже в этой главе. Этот путь требует введения таких понятий как гильбертово пространство и операторы, действующие в этом пространстве. Именно

так и излагается квантовая механика в большинстве учебников.

В этой книжке я попытаюсь обойтись без этих понятий, используя диаграммы, которые придумал Фейнман в середине XX века для расчёта амплитуд вероятности. С этими диаграммами мы познакомимся в главе, посвящённой квантовой электродинамике КЭД. Их широко используют для расчёта вероятностей различных процессов.

## 6.4 Роль случая при распадах \*

Процессы распада элементарных частиц, атомных ядер и излучения фотонов атомами характеризуются величиной времени жизни  $\tau$ , разумеется разной для разных процессов. За время  $\tau$  число нераспавшихся частиц (ядер, атомных уровней) уменьшается в  $e \approx 2,7$  раз. (Часто вместо времени жизни используют время полураспада  $\tau_{1/2}$ , за которое число нераспавшихся частиц уменьшается в два раза;  $\tau_{1/2} = \tau \ln 2 \approx 0,7\tau$ .) На основе квантовой механики и теории относительности мы можем с высокой степенью точности предсказать величину  $\tau$ , но когда распадётся конкретная частица мы в принципе предсказать не можем. Тут властвуют случай и описывающая случайные явления теория вероятностей.

## 6.5 Роль случая в опытах с двумя щелями

В формировании квантовой механики важную роль сыграло установление волновых свойств у микроскопических частиц, проходящих через две щели первого экрана и создающих интерференционную картину на стоящем за ним втором экране. Картина эта тем точней, чем большее число частиц прошло через щели. При этом частицы могут проходить поодиночке, что доказывает наличие у индивидуальной частицы волновых свойств. А вот пред-

сказать точку на втором экране, куда попадёт данная частица абсолютно невозможно. Тут опять властвует случай. Многие авторы, пишущие о квантовой механике, не сознают этого обстоятельства и пытаются оперировать классическим понятием траектории. Так была создана и обсуждается до сих пор теоретическая интерпретация квантовой механики как науки, описывающей сосуществование множества различных миров.

## 6.6 Соотношения неопределённости \*

В квантовой механике важную роль играют соотношения неопределённости Гейзенберга:

$$\begin{aligned}\Delta E \Delta t &\geq \hbar/2, \\ \Delta p_x \Delta x &\geq \hbar/2, \\ \Delta p_y \Delta y &\geq \hbar/2, \\ \Delta p_z \Delta z &\geq \hbar/2.\end{aligned}\tag{6.4}$$

Эти соотношения устанавливают связь между неопределённостями, с которыми можно измерять энергию частицы и время её наблюдения, или импульс и координату.

## 6.7 „Правильные“ и „неправильные“ вопросы \*

Квантовая механика несравнимо жёстче классической в ответах на „правильные“ вопросы. И имеет только вероятностные ответы на „неправильные“ вопросы. Пример правильного вопроса: „Какие квантовые числа имеет частица в данном состоянии?“. Примером неправильных вопросов (в силу соотношения неопределённостей) являются вопросы „Где находится свободная частица с определённым импульсом?“ или „Какова траектория частицы?“. В результате такие очень важные понятия классической физики, как место в мире (в четырёхмерном

пространстве-времени) и величина поля, приобретают вероятностный, „размытый“ характер.

## 6.8 Уравнение Шрёдингера

Волновая функция в нерелятивистском пределе удовлетворяет волновому уравнению Шрёдингера:

$$i \frac{\partial \psi}{\partial t} = \hat{H} \psi,\tag{6.5}$$

где  $\hat{H}$  - оператор Гамильтона, называемый гамильтонианом, равен сумме операторов кинетической и потенциальной энергии. Для заряженной частицы в электромагнитном поле  $\phi$ ,  $\mathbf{A}$  он имеет вид:

$$\hat{H} = \frac{1}{2m} (\hat{\mathbf{p}} - e\hat{\mathbf{A}})^2 + e\phi,\tag{6.6}$$

где  $\hat{\mathbf{p}} = -i\hbar\partial/\partial\mathbf{r}$  — оператор импульса. Волновая функция  $\psi$  представляет собой совокупность (линейную суперпозицию) всех возможных квантовых состояний данной физической системы.

## 6.9 Уравнение Клейна-Фока-Гордона

Уравнение для релятивистской бесспиновой частицы было установлено в 1926 году Клейном, Фоком и Гордоном. Для свободной частицы оно имеет вид

$$\left( \frac{\partial^2}{\partial t^2} - \frac{\partial^2}{\partial x^2} - \frac{\partial^2}{\partial y^2} - \frac{\partial^2}{\partial z^2} + m^2 \right) \psi = 0.\tag{6.7}$$

В четырёхмерных обозначениях оно может быть записано в виде

$$\left( \frac{\partial}{\partial x^\mu} \frac{\partial}{\partial x_\mu} + m^2 \right) \psi = 0.\tag{6.8}$$

Здесь  $x^\mu$  — контравариантный четырёхмерный вектор, а  $x_\mu$  — ковариантный четырёхмерный вектор. По повторяющимся („немым“) индексам подразумевается суммирование:  $x_\mu = g_{\mu\nu}x^\nu$ , где  $g_{\mu\nu}$  — метрический тензор плоского пространства.

Релятивистски инвариантная волновая функция бесспиновой заряженной частицы в электромагнитном поле  $A_\mu = (\phi, \mathbf{A})$  удовлетворяет уравнению

$$\left( \left( \frac{\partial}{\partial x^\mu} - ieA_\mu \right) \left( \frac{\partial}{\partial x_\mu} - ieA^\mu \right) + m^2 \right) \psi = 0. \quad (6.9)$$

## 6.10 Уравнение Дирака

Релятивистская волновая функция для свободной частицы со спином  $\frac{1}{2}$  удовлетворяет уравнению Дирака:

$$(\hat{p} - m)\psi = 0, \quad (6.10)$$

где  $\hat{p} = p_\mu \gamma^\mu = i \frac{\partial}{\partial x^\mu} \gamma^\mu$ , а  $\gamma^\mu$  — четыре матрицы Дирака размерностью  $4 \times 4$ :

$$\begin{aligned} \gamma^0 &= \begin{pmatrix} 1 & 0 & 0 & 0 \\ 0 & 1 & 0 & 0 \\ 0 & 0 & -1 & 0 \\ 0 & 0 & 0 & -1 \end{pmatrix}, & \gamma^1 &= \begin{pmatrix} 0 & 0 & 0 & 1 \\ 0 & 0 & 1 & 0 \\ 0 & -1 & 0 & 0 \\ -1 & 0 & 0 & 0 \end{pmatrix}, \\ \gamma^2 &= \begin{pmatrix} 0 & 0 & 0 & -i \\ 0 & 0 & i & 0 \\ 0 & i & 0 & 0 \\ -i & 0 & 0 & 0 \end{pmatrix}, & \gamma^3 &= \begin{pmatrix} 0 & 0 & 1 & 0 \\ 0 & 0 & 0 & -1 \\ -1 & 0 & 0 & 0 \\ 0 & 1 & 0 & 0 \end{pmatrix}. \end{aligned} \quad (6.11)$$

Эти матрицы Дирака можно компактно выразить через  $2 \times 2$  матрицы, одна из которых трёхмерный скаляр:

$$\mathbf{1} = \begin{pmatrix} 1 & 0 \\ 0 & 1 \end{pmatrix},$$

а три других матрицы, называемые матрицами Паули, являются компонентами трёхмерного вектора  $\boldsymbol{\sigma}$ :

$$\sigma^1 = \begin{pmatrix} 0 & 1 \\ 1 & 0 \end{pmatrix}, \quad \sigma^2 = \begin{pmatrix} 0 & -i \\ i & 0 \end{pmatrix}, \quad \sigma^3 = \begin{pmatrix} 1 & 0 \\ 0 & -1 \end{pmatrix}. \quad (6.12)$$

Так что:

$$\gamma^0 = \begin{pmatrix} \mathbf{1} & 0 \\ 0 & -\mathbf{1} \end{pmatrix}, \quad \boldsymbol{\gamma} = \begin{pmatrix} 0 & \boldsymbol{\sigma} \\ -\boldsymbol{\sigma} & 0 \end{pmatrix}. \quad (6.13)$$

В дальнейшем (в главе 20) нам понадобится также матрица  $\gamma^5 = -i\gamma^0\gamma^1\gamma^2\gamma^3$ , которая, как нетрудно проверить, имеет вид

$$\gamma^5 = - \begin{pmatrix} 0 & \mathbf{1} \\ \mathbf{1} & 0 \end{pmatrix}. \quad (6.14)$$

## 6.11 Действие

Среди всех физических величин имеется одна, занимающая центральное положение в физике. Эта величина — действие  $S$ . Центральная роль действия в физике обусловлена существованием фундаментального закона физики — принципа наименьшего действия. Этот принцип был впервые сформулирован Ферма. Но только в XX веке стала ясна универсальная и ключевая роль действия в физике.

В простейшем случае действие свободной частицы, пролетевшей за время  $t$  от начала координат до точки  $\mathbf{r}$ , определяют как

$$S = -Et + \mathbf{p}\mathbf{r}. \quad (6.15)$$

Если свободная частица покоится, то действие для неё равно  $S = -E_0 t = -mc^2 t$ .

Решение волнового уравнения можно представить в виде

$$e^{iS/\hbar}. \quad (6.16)$$

Дальнейшее обсуждение  $S$  лежит за пределами этой маленькой книжечки. Прекрасное объяснение физического смысла принципа наименьшего действия содержится в Фейнмановских Лекциях [5].

## Глава 7

# Опять про единицы

### 7.1 Единицы: эксперимент и теория \*

Разговор о единицах кажется здесь неуместным, но он необходим, потому что физика — это не только теоретическая, но и прежде всего экспериментальная наука: теория упорядочивает факты, установленные экспериментально. Согласно экспериментам,  $\hbar = 1,054\,571\,628(53) \cdot 10^{-34}$  Дж·с, где 1 Дж означает один джоуль, а 1 с — одну секунду, а цифры в скобках (53) дают экспериментальную неопределённость в последних значащих цифрах.

### 7.2 О системе единиц СИ \*

Первое Международное соглашение об установлении системы единиц СИ было заключено в XIX веке в ответ на запросы торговли, техники и науки. В системе СИ единица энергии один джоуль равна  $1 \text{ кг} \cdot \text{м}^2 \cdot \text{с}^{-2}$ . Другое определение джоуля в системе СИ через кулон и вольт:  $1 \text{ Дж} = 1 \text{ Кл} \cdot 1 \text{ В}$ . Совершенно очевидно, что ни килограмм, ни джоуль, ни кулон не являются удобными единицами при обсуждении элементарных частиц.

### 7.3 Электрон-вольт \*

В экспериментальной физике элементарных частиц за единицу энергии принята энергия, которую приобретает электрон, пройдя разность потенциалов один вольт. Эта единица называется один электрон-вольт — 1 эВ. Используются также производные этой единицы: милли-, кило-, мега-, гига-, тера-эВ (1 мэВ =  $10^{-3}$  эВ, 1 кэВ =  $10^3$  эВ, 1 МэВ =  $10^6$  эВ, 1 ГэВ =  $10^9$  эВ, 1 ТэВ =  $10^{12}$  эВ). Учитывая, что заряд электрона составляет  $1,6 \cdot 10^{-19}$  Кл, получим, что  $1 \text{ Дж} = 6,2 \cdot 10^{18}$  эВ. Откуда  $\hbar = 6,58211899(16) \cdot 10^{-16}$  эВ·с.

### 7.4 Единицы, в которых $c, \hbar = 1$ \*

В физике элементарных частиц часто используется система единиц, в которой в качестве единицы скорости принята скорость света  $c$ , а в качестве единицы углового момента и действия —  $\hbar$ . При этом все уравнения очень упрощаются, т.к. в них можно и нужно положить  $c, \hbar = 1$ . В единицах, где  $c = 1$ , энергия, импульс и масса имеют одну и ту же размерность. В частности, масса частиц выражается в электрон-вольтах:  $1 \text{ эВ} = 1,78 \cdot 10^{-36}$  кг,  $m_e = 0,51 \text{ МэВ}$ ,  $m_p = 938 \text{ МэВ} \approx 0.9 \text{ ГэВ}$ . Также одну и ту же размерность имеют  $\mathbf{r}$  и  $t$ .

### 7.5 О выборе системы единиц \*

Выбор системы единиц при решении той или иной физической задачи определяется вопросами удобства. Система единиц  $c, \hbar = 1$  наиболее удобна при рассмотрении основополагающих вопросов в квантово-релятивистской физике. Поэтому знание её необходимо всем, кто хочет понимать современную физику. Однако это знание отнюдь не подразумевает, что эта система единиц удобна всегда, например, в классическом или нерелятивистском пределах.

## Глава 8

# Атом водорода

### 8.1 О потенциальной энергии \*

Известно, что самый лёгкий из атомов — атом водорода — состоит из протона и электрона. Масса атома водорода определяется в основном массой протона  $m_p$ , все остальные свойства определяются массой электрона  $m_e$  и его электрическим зарядом  $-e$ , который равен по абсолютной величине и противоположен по знаку заряду протона  $+e$ . Потенциальная энергия притяжения электрона и протона, находящихся друг от друга на расстоянии  $r$ , равна

$$U = -e^2/r = -\alpha\hbar c/r, \quad (8.1)$$

Ключевую роль в теории атома играет безразмерная величина  $\alpha = e^2/\hbar c \approx 1/137$ . (Напомним, что  $e = 1,6 \cdot 10^{-19}$  Кл (см. 7.3), но мы не пользуемся системой СИ (см. 12.4).)

Заметим, что потенциальная энергия электрона зависит только от его положения, но не от его скорости. Потенциальную энергию можно ввести только в нерелятивистском приближении.



## 8.2 Взаимодействие электрона и протона \*

Механизм взаимодействия электрона и протона заключается в том, что они обмениваются друг с другом фотонами. (Это будет разъяснено более подробно в дальнейшем.) При этом следует различать две ситуации: упругую и неупругую. В первом случае две свободные частицы сближаются, их исходные импульсы изменяются за счёт их взаимодействия, и они разлетаются навсегда, чтобы больше никогда не встретиться, если не вмешаются окружающие частицы. Во втором случае электрон и протон образуют связанную систему и не смогут разлететься. Первый тип движения называют инфинитным, второй — финитным, т.к. движение происходит в конечной области пространства. (Чтобы из упругой, свободной ситуации перейти к неупругой, связанной, достаточно электрону испустить фотон, отдав ему излишнюю энергию. Обратный процесс, когда связанный электрон, поглотив фотон, становится свободным, называется ионизацией атома.)

## 8.3 Главное квантовое число \*

Поведение связанных электрона и протона определяется законами квантовой механики. Их энергия связи  $\varepsilon$  может принимать лишь определённые (квантованные) значения. В наименьшем приближении по  $\alpha$  энергия связи имеет вид:

$$\varepsilon_n = m_e c^2 \alpha^2 / 2n^2, \quad (8.2)$$

где  $n$  — так называемое главное квантовое число, которое может принимать только целочисленные значения от 1 до бесконечности. Чем больше  $n$ , тем меньше энергия связи в атоме и тем легче эту связь разорвать. Энергия связи электрона в основном состоянии атома водорода равна  $\varepsilon_1 = m_e c^2 \alpha^2 / 2 = 13.6$  эВ. Она называется энергией Ридберга.

## 8.4 Масса квантового состояния \*

Следует подчеркнуть, что ни определённого значения кинетической энергии, ни определённого значения потенциальной энергии квантовое состояние не имеет. Оно имеет только определённое значение полной энергии покоя данного состояния или его массы. Так масса основного состояния атома водорода равна  $m_H = m_p + m_e - \varepsilon_1/c^2$ .

## 8.5 Орбитальное квантовое число\*

Наряду с главным квантовым числом  $n$ , состояние электрона зависит также от его орбитального квантового числа  $l$ , причём  $l \leq n - 1$ . Орбитальное квантовое число характеризует орбитальный угловой момент электрона. Следует подчеркнуть, что представление о том, что электрон движется по орбите подобно, скажем, планете, справедливо (и то лишь приближённо) лишь при очень больших значениях  $l \gg 1$ . При  $l = 0$  электрон похож скорее на сферически симметричное облачко, чем на классическую частицу. Такие понятия как положение в пространстве  $\mathbf{r}$ , импульс  $\mathbf{p}$  и скорость  $\mathbf{v}$  к нему неприменимы. Подчеркнём, что в наименьшем приближении по  $\alpha$  масса состояния в атоме водорода зависит только от главного квантового числа  $n$ , а от других квантовых чисел (и в частности  $l$ ) не зависит.

## 8.6 Проекция L и S \*

Наряду с квантовыми числами  $n$  и  $l$  состояние электрона в атоме описывается ещё двумя другими квантовыми числами, характеризующими проекцию орбитального углового момента и спина электрона на некую пространственную ось  $z$ . Проекция орбитального квантового числа может принимать  $2l + 1$  значений:  $l_z = l, l - 1, l - 2, \dots, -l + 2, -l + 1, -l$ ; а проекция спина — два значения:  $s_z = +\frac{1}{2}, -\frac{1}{2}$ . Обычно направление оси

$z$  определяется внешним магнитным полем, в которое помещён атом. (Часто величину  $l_z$  обозначают буквой  $m_l$ , а величину  $s_z - m_s$ .)

## 8.7 Испускание и поглощение света \*

Обычно переход атома из более возбуждённого состояния в менее возбуждённое или основное состояние сопровождается излучением фотона, а обратный переход происходит при поглощении фотона.

## Глава 9

# Периодическая система химических элементов

## 9.1 От протонов к нуклонам \*

Элементарные знания по квантовой механике позволяют просто понять основные закономерности Таблицы Менделеева в её современном виде (см., например, [6]).

Понять устройство атомов более тяжёлых, чем водород, с помощью только трёх частиц ( $e, \gamma, p$ ) нельзя, т.к. их ядра содержат наряду с протонами также и нейтроны. Нейтрон — это электрически нейтральная частица с массой, близкой к массе протона:  $m_n - m_p \approx 1.29$  МэВ. Наличие нейтронов в атомных ядрах очень существенно для ядерной физики, но в значительно меньшей степени существенно для атомной физики. Ведь атомные свойства изотопов — элементов, содержащих в ядрах одинаковое число протонов, но разное число нейтронов, очень похожи.

В ситуациях, когда различия между протонами и ней-

тронами несущественны, их называют общим термином нуклоны. Полное число нуклонов в ядре обозначают буквой  $A$ . Именно оно определяет массу ядра. Полное число протонов в ядре обозначают буквой  $Z$ . Именно оно определяет заряд ядра. Поскольку атом электрически нейтрален, то число электронов в атоме тоже равно  $Z$ .

## 9.2 Принцип Паули \*

Ключевую роль в строении атомов играет принцип Паули. Как уже отмечалось, спин электрона равен  $\frac{1}{2}$ . Электроны подчиняются принципу Паули, согласно которому в данном квантовом состоянии может находиться не более одного электрона.

## 9.3 Горизонтальные периоды таблицы элементов \*

Чтобы понять, как устроена периодическая система элементов, необходимо осознать, что состояние электрона в атоме описывается четырьмя квантовыми числами: 1) главным  $n$ , 2) орбитальным  $l$ , 3) его проекцией  $m_l$ , 4) проекцией спина  $m_s$ . Напомним, что главное число  $n$  может принимать целочисленные значения 1, 2, 3,.... Орбитальное число  $l$  может принимать целочисленные значения от 0 до  $n - 1$ . Состояния с  $l = 0, 1, 2, 3$  обозначают соответственно  $s, p, d, f$ . Проекция  $m_l$  может принимать  $2l + 1$  значений от  $-l$  до  $+l$ . Проекция спина  $m_s$  может принимать два значения:  $-\frac{1}{2}, +\frac{1}{2}$ .

Заметим, что названия оболочек  $s, p, d, f$  возникли намного раньше, чем возникло представление об атомах и электронах. Этими буквами обозначали в XIX веке термы оптических спектров различных химических элементов. Частота любой спектральной линии может быть представлена как разность двух термов. Здесь возможно уместно упомянуть, что о существовании гелия узнали в 1868 году, изучая спектры солнечных протуберанцев.

## 9.4 Первый период

Первый период периодической системы (у которого есть только одна электронная оболочка,  $1s$ ) состоит из атомов двух элементов: водорода  ${}^1\text{H}$  ( $1s^1$ ) и гелия  ${}^2\text{He}$  ( $1s^2$ ). Здесь и в дальнейшем верхний левый индекс у обозначения атома указывает полное число электронов в атоме, равное числу протонов в ядре этого атома  $Z$ ; число, стоящее перед символом оболочки с данным  $l$ , указывает значение её главного квантового числа  $n$ ; верхний правый индекс у обозначения оболочки указывает, сколько электронов размещаются на этой оболочке.

## 9.5 Второй и третий периоды

Второй период (у которого внутренняя электронная оболочка  $1s$ , а внешняя —  $2s2p$ ) состоит из атомов восьми элементов: от лития  ${}^3\text{Li}$  ( $2s^1$ ) до неона  ${}^{10}\text{Ne}$  ( $2s^22p^6$ ). Напомним, что число электронов на любой заполненной  $s$  оболочке равно двум, а на любой заполненной  $p$  оболочке — шести. Третий период (у которого внешняя оболочка ( $3s3p$ ) также состоит из атомов восьми элементов: от натрия  ${}^{11}\text{Na}$  ( $3s^1$ ) до аргона  ${}^{18}\text{Ar}$  ( $3s^23p^6$ ).

## 9.6 Четвёртый и пятый периоды

Четвёртый период (у которого внешняя оболочка  $4s3d4p$ ) состоит из атомов восемнадцати элементов: от калия  ${}^{19}\text{K}$  ( $4s^1$ ) до криптона  ${}^{36}\text{Kr}$  ( $4s^23d^{10}4p^6$ ). Пятый период (у которого внешняя оболочка  $5s4d5p$ ) также состоит из атомов восемнадцати элементов: от рубидия  ${}^{37}\text{Rb}$  ( $5s^1$ ) до ксенона  ${}^{54}\text{Xe}$  ( $5s^24d^{10}5p^6$ ). Заметьте, что оболочки  $4p$  и  $5p$  начинают заполняться лишь после того, как заполнятся оболочки  $3d$  и  $4d$ .

## 9.7 Шестой и седьмой периоды

Шестой период (у которого внешняя оболочка  $6s4f5d6p$ ) состоит из атомов тридцати двух элементов: от цезия

$^{55}\text{Cs}$  ( $6s^1$ ) до радона  $^{86}\text{Rn}$  ( $6s^2 4f^{14} 5d^{10} 6p^6$ ). Заметьте, что оболочки  $6p$  начинают заполняться лишь после того, как заполнятся оболочки  $4f$  (лантаниды) и  $5d$ .

Седьмой период (у которого внешняя оболочка  $7s 5f 6d 7p$ ) также состоит из атомов тридцати двух элементов: от франция  $^{87}\text{Fr}$  ( $7s^1$ ) до элемента с номером 118 ( $7s^2 5f^{14} 6d^{10} 7p^6$ ).

Элементы 89-103 называются актинидами. У элементов 113 - 118 названий пока нет.

## 9.8 8 групп и 18 вертикальных столбцов таблицы

18 вертикальных столбцов Периодической таблицы нумеруются обычно арабскими цифрами. Кроме того химики обозначают эти же столбцы римскими цифрами от I до VIII с последующими буквами А или В (см. [6]) и называют столбцы с одинаковыми римскими цифрами группами. (При этом группа VIII объединяет столбцы 8,9,10.) Первый столбец (IA) периодической таблицы элементов занимают атомы водорода и щелочных металлов, у которых на внешней оболочке только один электрон. Во втором столбце (IIA) — щелочно-земельные элементы с двумя электронами на внешней оболочке. Столбцы (IIIA), (IVA), (VA), (VIA) начинаются соответственно бором, углеродом, азотом, кислородом. Столбец (VIIA) составляют химически активные элементы, у которых не хватает одного электрона на внешней оболочке. Наконец, последний (восемнадцатый) столбец (VIIIA) занимают атомы благородных газов, у которых внешняя оболочка полностью заполнена.

У первого периода пустуют столбцы 2-17. У второго и третьего периода пустуют столбцы 3-12.

У четвертого и пятого периодов ряды 3-12 заполнены переходными металлами (эти ряды обозначают соответственно IIIB, IVB, VB, VIB, VIIB, VIIIB, IB, IIB).

У шестого и седьмого периода в третьем столбце не по одному, а по 15 элементов: у них одинаковые внешние

оболочки  $s^2 d^1$ , но различно заполнение их нижележащей оболочки  $f$ . Это химические аналоги лантана — лантаниды (от  $^{57}\text{La}$  до  $^{71}\text{Lu}$ ) и, соответственно, актиния — актиниды (от  $^{89}\text{Ac}$  до  $^{103}\text{Lr}$ ). Именно поэтому в них не по 18, а по 32 элемента:  $32 = 18 + (14 = 15 - 1)$ .

## Глава 10

# Вещество

### 10.1 Молекулы \*

При сближении атомов они обмениваются электронами и связываются друг с другом, образуя молекулы. Число атомов в молекуле составляет от двух–трёх ( $\text{H}_2$ ,  $\text{O}_2$ ,  $\text{HCl}$ ,  $\text{H}_2\text{O}$ ,  $\text{CO}_2$ ) до сотен миллионов (как в случае молекул жизни — ДНК — дезоксирибонуклеиновой кислоты). Энергия связи атомов в молекулах измеряется электрон-вольтами.

### 10.2 Газы \*

Отдельные молекулы существуют вокруг нас в газах: например, воздух содержит молекулы  $\text{O}_2$ ,  $\text{N}_2$ ,  $\text{CO}_2$ ,  $\text{H}_2\text{O}$ . Молекулы благородных газов  $\text{He}$ ,  $\text{Ne}$ ,  $\text{Ar}$ ,... моноатомны. Однако при обычных значениях температуры и давления в большинстве явлений мы встречаемся с конденсированным веществом в виде твёрдых тел и жидкостей. Переходы между различными состояниями вещества при изменении температуры и давления называются фазовыми переходами. Такими переходами являются таяние льда и испарение воды.

### 10.3 Число Лошмидта \*

Молекулы воздуха при нормальном давлении и температуре движутся со средней энергией порядка  $\frac{1}{30}$  эВ. При этом расстояние между молекулами на порядок превосходит их диаметр. В одном кубическом метре воздуха при нормальных условиях примерно  $2,7 \cdot 10^{25}$  молекул газа. Это число Лошмидта [7].

### 10.4 Температура \*

Температура характеризует среднюю энергию частиц вещества. Обычно температуру измеряют градусами Цельсия ( $^{\circ}\text{C}$ ), обозначая её  $t$ . За  $t=0^{\circ}\text{C}$  принимают температуру замерзания воды, а за  $100^{\circ}\text{C}$  температуру её кипения. Понятие температуры лучше всего обсуждать на примере идеального моноатомного газа, в котором взаимодействием частиц пренебрегают. В этом случае вся энергия сводится к кинетической энергии частиц:  $\bar{E} = \frac{3}{2}kT$ , где  $\bar{E}$  — средняя энергия частиц,  $T$  — абсолютная температура ( $T = t + 273$ ), измеряемая в градусах Кельвина ( $^{\circ}\text{K}$ ), а  $k$  — константа Больцмана:  $k = 8,62 \cdot 10^{-5}$  эВ/ $^{\circ}\text{K}$ . В отличие от фундаментальных постоянных  $c$ ,  $\hbar$ , постоянная  $k$  является просто переводным множителем из температурных единиц в энергетические.

### 10.5 Ещё раз о мировых константах

Здесь уместно ещё раз подчеркнуть, в чём заключается особая роль мировых фундаментальных констант. Разумеется, и  $c$ , и  $\hbar$ , так же как и  $k$ , являются переводными множителями. (С помощью  $c$  можно, например, переводить световые годы в километры.) Но только при  $c$ , стремящемся к бесконечности происходит переход от теории относительности к механике Ньютона, и только при  $\hbar$ , стремящемся к нулю, происходит переход от квантовой механики к классической. Ничего подобного нельзя

сказать о константе  $k$ , которая связывает между собой среднюю энергию системы многих частиц с температурой этой системы. (Если измерять энергию и температуру в одинаковых единицах, то  $k$  не входит также и в определении энтропии.) Именно поэтому константа Больцмана, столь важная в термодинамике и статистической физике, не является мировой (фундаментальной и универсальной) константой.

## 10.6 Конденсированное вещество\*

В конденсированном веществе атомы плотно упакованы. Они касаются друг друга. При этом в жидкой фазе молекулы могут перемещаться, обмениваться местами. В твёрдой же фазе молекулы или атомы строго зафиксированы и могут лишь колебаться относительно точек среднего положения. Твёрдые тела подразделяют по-разному, например, на аморфные тела и кристаллы. Примером первых является стекло, оно состоит из молекул  $\text{SiO}_2$ . Примером вторых — соль  $\text{NaCl}$ . Кристаллическую структуру при нормальных условиях имеют обычно металлы, хотя известно и исключение — ртуть  $\text{Hg}$ , которая при нормальных условиях жидкая. Другим подразделением твёрдых тел является их деление на проводники, диэлектрики и полупроводники. Проводники хорошо проводят электрический ток, из них делают провода. Диэлектрики не проводят ток, из них делают изоляторы. Проводимость полупроводников сильно зависит от внешних условий. На полупроводниках основана вся электроника.

## 10.7 Кристаллизация

В процессе кристаллизации происходит самоорганизация атомов, которые занимают определённые места в пространстве и создают пространственные решётки, структура которых определяется химическими свойствами

атомов: их валентностью, т.е. способностью притягивать к себе электроны соседних атомов, или делиться с ними своими электронами. При этом возникает устойчивое состояние огромного (макроскопического) числа атомов с минимальной полной энергией. Возникает то, что принято называть термином дальний порядок.

## 10.8 Фазовые переходы

Взаимные превращения различных фазовых состояний при изменении температуры и/или давления называют фазовыми переходами. Наиболее горячие фазовые переходы в земных условиях: плавление вольфрама и его кипение. Некоторые холодные фазовые переходы: образование твёрдого водорода при  $T=14^\circ \text{K}$ , переход жидкого  $^4\text{He}$  ( $T=2,17^\circ \text{K}$ ) и жидкого  $^3\text{He}$  ( $T \approx 10^{-3}^\circ \text{K}$ ) в сверхтекучее состояние.

## 10.9 Сверхтекучесть и сверхпроводимость

Впервые явление сверхпроводимости было обнаружено в 1911 году у проволоки из ртути. При температуре ниже  $4^\circ \text{K}$  её электрическое сопротивление обращалось в нуль. Явление сверхтекучести было открыто в 1938 году в жидком гелии. При температуре ниже  $2^\circ \text{K}$  движение этой жидкости происходит без трения.

За истекшие 100 лет были найдены сотни веществ, являющихся сверхпроводниками. В 1986 году были открыты первые высокотемпературные сплавы, у которых при понижении температуры сверхпроводимость наступала при температуре, превышающей  $30^\circ \text{K}$ . С тех пор верхняя граница высокотемпературной сверхпроводимости превзошла  $125^\circ \text{K}$ . Теоретическая модель сверхпроводимости была создана в 1957 году. В её основе лежит представление о сверхтекучести так называемых куперовских пар электронов, образуемых электронами с

равными по величине и противоположно направленными импульсами и антипараллельными спинами. (Электроны притягиваются друг к другу за счёт своего взаимодействия с возбуждениями кристаллической решётки твёрдого тела.)

### 10.10 Квазичастицы

В квантовой теории многих частиц очень полезным оказывается понятие квазичастицы, которым обозначают коллективное квантовое возбуждение вещества, имеющее определённую энергию, импульс, спин. Примерами являются фононы, поляроны и экситоны в кристаллических решётках, магноны в спиновых системах магнетиков, фононы и ротоны в жидком гелии, плазмоны в плазме. Понятие квазичастицы позволяет свести сложные задачи взаимодействия частиц к более простому рассмотрению газа квазичастиц.

## Глава 11

# Квантовая электродинамика

### 11.1 КЭД \*

Всё описанное выше разнообразие явлений возникает как следствие взаимодействия по существу двух частиц: фотона и электрона, поскольку атомные ядра играют в обсуждавшихся выше явлениях скорее роль пассивных архитектурных декораций. Полная теория взаимодействия фотона и электрона называется Квантовая Электродинамика (КЭД).

### 11.2 КЭД от Дирака до Фейнмана \*

КЭД была создана усилиями многих физиков. Но невозможно не упомянуть двух из них. Дирак в конце 1920-х годов заложил основы КЭД, Фейнман в конце 1940-х придал ей ту простейшую форму, в которой сегодня её можно объяснить начинающему физику.

### 11.3 Лэмбовский сдвиг

Важнейшим экспериментальным открытием было измерение в конце 40-х годов так называемого лэмбовского сдвига  $2s$  и  $2p$  уровней атома водорода. Как было сказано в Главе 8, в наинизшем приближении по  $\alpha$  эти уровни имеют одинаковые энергии: оба лежат выше уровня  $1s$  на величину  $3\varepsilon_1/4$ . Но опыт показал, что уровень  $2s$  лежит выше, чем  $2p$ , на миллионные доли электронвольта и может распадаться на него с излучением микроволнового фотона с частотой 1058 Мегагерц. Вскоре в рамках КЭД было показано, что это расщепление обусловлено более высокими приближениями теории возмущений по  $\alpha$  и составляет примерно  $\alpha^3\varepsilon_1$ .

### 11.4 Позитрон и другие античастицы \*

Важнейшим элементом КЭД является тот факт, что у электрона имеется античастица — позитрон, у которой точно такая же масса и такая же абсолютная величина электрического заряда, но знак заряда положительный, а не отрицательный. Античастицы есть у всех заряженных частиц (и фермионов, и бозонов) и у многих электрически нейтральных частиц, таких, например, как нейтрон. Нейтрон и антинейтрон — это разные частицы: их барионные заряды (или барионные квантовые числа) имеют противоположные знаки. Но есть частицы, которые абсолютно совпадают со своими античастицами. Их называют истинно нейтральными. Примером истинно нейтральной частицы является фотон.

### 11.5 Диаграммы Фейнмана \*

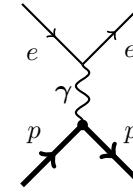


Рис. 11.1: Рассеяние электрона на протоне

Рассмотрим рассеяние электрона на протоне, происходящее за счёт обмена фотоном. Стрелки на рисунке указывают направление течения времени для каждой частицы. Слева изображено начальное состояние, справа — конечное. 4-импульсы каждой из частиц изменяются в результате взаимодействия.

Линии электрона и протона отвечают свободным частицам; для них квадрат 4-импульса  $p$  равен квадрату массы:  $p^2 \equiv E^2 - \mathbf{p}^2 = m^2$ . (Мы пользуемся здесь системой единиц, в которой  $c = 1$ .) Про такие частицы говорят, что они находятся на массовой поверхности и что они реальные. Реальные частицы либо приходят с бесконечно далёких расстояний, либо уходят бесконечно далеко.

Линия фотона на рис. 11.1 отвечает фотону с 4-импульсом  $q$ , но не реальному, а виртуальному фотону, для которого бесконечность недоступна. Он находится вне массовой поверхности и для него  $q^2 \neq m_\gamma^2 = 0$ . (Заметим, что здесь и в дальнейшем прямые линии отвечают фермионам, а волнистые — бозонам.)

Каждой линии и вершине на фейнмановской диаграмме отвечает вполне определённое аналитическое выражение. Таким образом, диаграммы представляют собой своеобразный „конструктор“, предназначенный для вы-



числения квантовых амплитуд из „стандартных деталей“.

## 11.6 Вспять во времени

Рассмотрим теперь другой процесс, который описывается диаграммой, получаемой из предыдущей поворотом на  $90^\circ$ . В левой части этой диаграммы электрон сталкивается с необычным электроном, летящим вспять во времени, и рождает виртуальный фотон. В правой части — виртуальный фотон рождает обычный протон и необычный протон, летящий вспять во времени. Какой физический процесс описывает эта диаграмма?

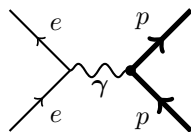


Рис. 11.2: Здесь две из четырёх частиц движутся вспять во времени

Оказывается, что она описывает рождение пары протон–антипротон при столкновении электрона и позитрона. (Такой процесс возможен, если энергия сталкивающихся частиц превышает  $2m_p c^2$ .)

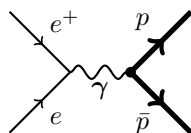


Рис. 11.3: Рождение пары протон–антипротон при столкновении электрона и позитрона

Здесь  $e^+$  обозначает позитрон, а  $\bar{p}$  обозначает антипротон. Такую интерпретацию движения вспять по времени предложил в 1949 году Фейнман. Она очень упростила понимание физики.

## 11.7 Античастицы \*

Релятивистски инвариантное описание бесспиновых частиц известно с 1926 года. Но впервые понятие античастицы было введено лишь в 1930 году для электрона, обладающего спином  $\frac{1}{2}$ . Спустя несколько лет оно было распространено теоретиками и на бозоны. Однако первые элементарные бозоны были открыты экспериментаторами лишь в конце 1940х годов. Возможно, поэтому в литературе очень часто понятие античастицы связывают с принципом Паули и с так называемым морем Дирака. Движение вспять по времени в равной мере применимо и к фермионам, и к бозонам. Оно делает ненужной и недостаточно правомерной интерпретацию позитронов как незаполненных состояний в море электронов с отрицательной энергией, к которой прибег Дирак, когда в 1930 году ввёл понятие античастицы. Ведь такого моря нет для бозонов, для которых неприменим принцип Паули. (Странно, что Фейнман не отметил этого, сказав в своей нобелевской лекции, что дираковское море так же хорошо, как и движение вспять по времени.)

## 11.8 Позитроний \*

Электрон и позитрон образуют атом, похожий на атом водорода, который называют позитроний. На рис. 11.4 изображено расщепление позитрония на свободные электрон и позитрон под воздействием фотона. (Спираль, обвивающая линии электрона и позитрона в позитронии, напоминает о том, что они связаны.)

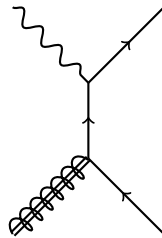


Рис. 11.4: Ионизация позитрония фотоном

Разумеется есть и аналогичная диаграмма, на которой фотон поглощается не электроном, а позитроном.

### 11.9 Нормальный магнитный момент электрона

Отношение величины магнитного момента частицы к величине  $e\hbar/2mc$ , где  $e, s, m$  — заряд, спин и масса частицы, принято обозначать буквой  $g$ . Под вертикальной внешней фотонной линией на диаграмме Фейнмана удобно понимать линию фотона из внешнего магнитного поля

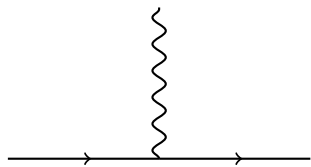


Рис. 11.5: Взаимодействие электрона с магнитным полем

В низшем порядке теории возмущений, отвечающем рисунку 11.5,  $g=2$ .

### 11.10 Аномальный магнитный момент электрона: $g-2$

С учётом более высоких порядков теории возмущений  $g-2 \neq 0$ . На рисунке 11.6 показана первая петля, которая даёт вклад в  $g-2$ . Сейчас эта величина вычислена в пяти петлях и совпадает с результатами точных измерений.

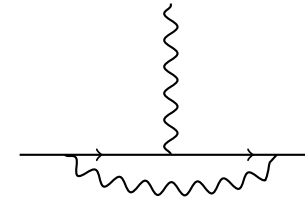


Рис. 11.6: Радиационная поправка к магнитному моменту электрона

### 11.11 Бегущая константа

Рассмотрим явление, изображённое на рисунке 11.7, где фотон часть времени существует в виде электрон-позитронной пары. Оно получило название поляризация вакуума.

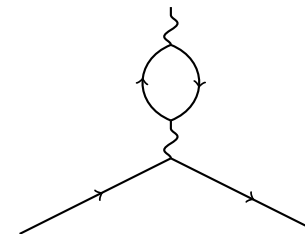


Рис. 11.7: Электрон-позитронная петля

Из-за поляризации вакуума виртуальные электрон-позитронные пары экранируют электрический заряд любой частицы на больших расстояниях, т.е. при малом квадрате импульса виртуального фотона  $q^2$ . С ростом  $q^2$  эта экранировка уменьшается и эффективный заряд частицы растёт. Такой заряд, меняющийся с ростом  $q^2$  называют бегущим зарядом, а константу  $\alpha = e^2/\hbar c$ , значение которой зависит от  $q^2$ , называют бегущей константой  $\alpha(q^2)$ . Аналогичным образом за счёт петлевых диаграмм оказывается бегущей константой и масса электрона.

### 11.12 Перенормируемость КЭД

Благодаря тому, что  $\alpha$  является безразмерной величиной, все результаты расчётов петлевых диаграмм Фейнмана в КЭД могут быть выражены через значения массы электрона и константы  $\alpha(q^2)$  при  $q^2 = 0$ . Это свойство КЭД называют перенормируемостью.

## Глава 12

# Переход к классической теории

### 12.1 Частицы или поля? \*

Выше мы видели, что если пользоваться языком фейнмановских диаграмм, то понятие поля становится ненужным. Роль поля исполняют виртуальные частицы. Между тем, исторически понятие поля является предшественником как квантовой механики, так и самих элементарных частиц, которые в квантовой теории поля рассматриваются как кванты поля. Выбранный мною „бесполевой“ путь фейнмановских диаграмм является предпочтительным при рассмотрении простых задач, которые можно решать по теории возмущений. Однако, как будет видно из последующих глав, понятие квантового поля необходимо при решении более сложных задач, требующих для своего решения выхода за рамки теории возмущений.

Замечу, что многие особенности квантовой механики, неприемлемые для Эйнштейна, и до сих пор для многих выглядящие как парадоксы (например, известный „ЭПР-парадокс“), возникают из-за того что  $\psi$ -функцию рассматривают как физическое поле.

## 12.2 Квазиклассика и классический предел \*

Квазиклассикой называют квантовое поведение при больших значениях квантовых чисел. Чем меньше длина волны частицы по сравнению с характерными размерами той или иной системы, тем больше состояние частицы в этой системе напоминает классическую траекторию. Классические понятия являются пределом квазиклассических. (См. Раздел 6.1.)

## 12.3 Напряжённость поля и индукция

Напряжённость электрического поля в вакууме  $\mathbf{E}$  отличается от напряжённости того же поля в среде, т.е. от электрической индукции  $\mathbf{D}$  в среде:

$$\mathbf{D} = \epsilon \mathbf{E}, \quad (12.1)$$

где  $\epsilon$  — электрическая проницаемость среды.

Напряжённость магнитного поля в вакууме  $\mathbf{H}$  отличается от магнитной индукции  $\mathbf{B}$  в среде:

$$\mathbf{B} = \mu \mathbf{H}, \quad (12.2)$$

где  $\mu$  — магнитная проницаемость среды.

В вакууме по определению  $\epsilon_0 = \mu_0 = 1$ .

Поле распространяется в среде со скоростью

$$v = \frac{c}{\sqrt{\epsilon\mu}} \quad (12.3)$$

## 12.4 Электрическая и магнитная проницаемости вакуума \*

Заканчивая обсуждение квантовой электродинамики, необходимо сказать несколько слов о терминологии, мет-

рологии и международной системе единиц СИ. Как родимое пятно XIX века система СИ закрепила во всей литературе (и не только по физике) величины  $\epsilon_0$  и  $\mu_0 = 1/\epsilon_0 c^2$ , называемые соответственно диэлектрической и магнитной проницаемостями вакуума. Эти величины тесно связаны с понятием эфира, колебания которого проявлялись, как считали тогда, в виде световых волн. С появлением теории относительности эфир оказался не нужен, а  $\epsilon_0$  и  $\mu_0$  пережили его на столетие. При последовательном изложении квантовой электродинамики эти величины не возникают. Поэтому  $\epsilon_0$  следует положить равной единице. А при  $c=1$  должно быть  $\epsilon_0 = \mu_0 = 1$ . (См., например учебники [8],[9]). Но попытки убедить в этом метрологов наталкиваются на упорное сопротивление. Даже в последнем выпуске Таблиц физических констант в [10] величина  $\epsilon_0$  входит в определение  $\alpha$  и основных констант атома водорода.

Сложности системы СИ связаны не столько с разнообразием явлений, сколько с разнообразием теорий, эти явления описывающих. Если всё сводится к фейнмановской механике, то разнообразия теорий нет и система единиц просто механическая. Это очень важно!

## Глава 13

# Гравитация, Земля, Солнце, Галактика

### 13.1 Верх и низ \*

С младенческих лет мы испытываем действие гравитационного притяжения Земли: подыматься вверх тяжело, падать вниз легко (хотя и не всегда безопасно). Но мы не сознаём, что понятия верха и низа обусловлены действием атомов Земли на атомы нашего тела. И только со временем мы узнаём, что Земля не плоская, а шарообразная, а для наших антиподов наш низ — это их верх.

### 13.2 Земля \*

В детстве мы не думаем о радиусе Земли, потому что Земной шар очень велик по сравнению с нашими размерами. Радиус Земли  $6 \cdot 10^3$  км, масса Земли  $6 \cdot 10^{24}$  кг. Масса водной оболочки  $1,5 \cdot 10^{21}$  кг, следовательно, она легче самой Земли примерно в 4000 раз. (Площадь суши  $1,5 \cdot 10^8$  км<sup>2</sup>, площадь океанов  $3,6 \cdot 10^8$  км<sup>2</sup>, среднее возвышение суши над уровнем океана 0,9 км, средняя глубина

океана 3,9 км.)

Масса воздушной оболочки ( $\approx 10$  м водного эквивалента  $\approx 750$  мм ртутного столба) ещё в 400 раз меньше. Воздушная и водная оболочки Земного шара держатся только благодаря гравитационному притяжению их атомов к атомам шара. Это притяжение постоянно действует и на нас, и на наших антиподов на противоположной стороне Земного шара.

### 13.3 Внутреннее строение Земли\*

Толщина земной коры порядка 30 км, её плотность примерно в три раза больше плотности воды. Ниже, до глубины примерно 3000 км расположена в два раза более плотная жидкая мантия. Ещё ниже — ещё вдвое более плотное твёрдое ядро.

### 13.4 Температура Земли

Средняя температура на поверхности Земли порядка 300 К обусловлена тем, что Земля внутри очень горячая. На границе коры и мантии температура достигает 700 К, на границе мантии и ядра — 4500 К, в центре ядра — 6400 К.

Высокая температура внутри Земли обусловлена в основном исходной высокой температурой при её образовании пять миллиардов лет тому назад и распадом радиоактивных элементов.

(Приведённые выше числа взяты из справочника К. У. Аллена [11], глава 6: Земля.)

### 13.5 Угол наклона земной оси \*

Сезонные изменения температуры обусловлены наклоном земной оси по отношению к плоскости эклиптики (т.е. плоскости земной орбиты, в которой лежит Солнце), так что лето и зима в северном и южном полушариях поочерёдно сменяют друг друга. Угол между плоско-

стью экватора и плоскостью эклиптики равен  $23^\circ 27'$  (см. главу 7 справочника [11]).

### 13.6 Закон Ньютона \*

Потенциальная энергия универсального гравитационного притяжения между двумя телами с массами  $m_1$  и  $m_2$ , находящимися на расстоянии  $r$  друг от друга, даётся законом Ньютона:

$$U = -G_N m_1 m_2 / r, \quad (13.1)$$

где константа Ньютона  $G_N = 6.7 \cdot 10^{-11} \text{ м}^3 \text{ кг}^{-1} \text{ с}^{-2}$ .

### 13.7 Солнечная система \*

Формула Ньютона даёт и энергию притяжения ньютонова яблока к Земле, и Земли к Солнцу, и всех остальных планет Солнечной системы к Солнцу и друг к другу. Масса Солнца  $M_\odot = 2 \cdot 10^{30}$  кг; радиус Солнца  $R_\odot = 7 \cdot 10^5$  км. Расстояние от Солнца до Земли  $150 \cdot 10^6$  км. Свет проходит его за 500 секунд или примерно за восемь минут. Это расстояние называется астрономической единицей (а.е.). Земля движется по своей орбите вокруг Солнца со скоростью 30 км/с. (Именно из-за этого движения Земля, постоянно падая на Солнце, до сих пор не упала на него.)

Спутник Земли — Луна — в 80 раз легче Земли, радиус её орбиты  $380 \cdot 10^3$  км.

Самая большая и яркая планета Солнечной системы — Юпитер — примерно в 300 раз тяжелее Земли, а радиус её орбиты в 5 раз больше, чем у земной орбиты.

Не все осознают, какую важную роль играет эта планета в нашей жизни, предохраняя Землю от опаснейших столкновений с космическими осколками из пояса астероидов.

### 13.8 Жизнь Солнца \*

Рождение и дальнейшая эволюция Солнца обусловлены гравитационным притяжением частиц. Вначале по мере сжатия вещества газовой туманности, из которой возникло Солнце, происходит превращение гравитационной потенциальной энергии частиц в их кинетическую энергию и, следовательно, нагревание вещества. Это превращение потенциальной энергии в кинетическую с ростом температуры очень замедляется, когда вступают в дело ядерные взаимодействия, превращающие энергию покоя частиц в кинетическую энергию, и тем предотвращающие быстрый гравитационный коллапс. (О ядерных взаимодействиях см. ниже.) Астрономы говорят, что нашему Солнцу около пяти миллиардов лет: оно прошло примерно половину своего жизненного пути ( $10^{10}$  лет). К концу своей жизни оно превратится последовательно в красного гиганта размером с орбиту Земли, в планетарную туманность и, наконец, в белого карлика размером с Землю.

### 13.9 Звёзды нашей Галактики \*

Солнце является одной из двухсот миллиардов звёзд, составляющих нашу Галактику — Млечный путь. Оно вращается вокруг центра Галактики со скоростью примерно 200 км/с на расстоянии от этого центра 25 тысяч световых лет. Ближайшая яркая звезда, похожая на наше Солнце, —  $\alpha$  Центавра — находится на расстоянии 4.4 световых года от нас (Она видна только в южном полушарии.) Самая яркая звезда всего неба — Сириус — находится на расстоянии 9 световых лет. Полное число звёзд, видимых невооружённым глазом, порядка 700 000. Примерно треть из них лежит в ближайшей окрестности Солнца — шаре радиусом 250 световых лет. Диаметр Галактики 100 тысяч световых лет, её толщина 7 тысяч световых лет, суммарная масса всех звёзд в Галактике

$1,4 \cdot 10^{11} M_{\odot}$ , масса самых тяжёлых звезд в Галактике: около  $100 M_{\odot}$  (см. [11]). Звёзды с массой, примерно равной  $M_{\odot}$ , живут примерно  $10^{10}$  лет.

### 13.10 Парсек

До не слишком далёких звёзд расстояния определяют по изменению их параллакса с разных точек земной орбиты. Один парсек — это расстояние, с которого а.е. видна как одна угловая секунда. Это значит, что  $1 \text{ пс} = 2 \cdot 10^5 \text{ а.е.} = 3 \cdot 10^{13} \text{ км} = 3,3 \text{ световых года}$ . 1 килопарсек (кпс) равен 3,3 тысячи световых лет. 1 Мегাপарсек (Мпс) =  $3,3 \cdot 10^6$  световых лет. 1 Гигাপарсек (Гпс) =  $3,3 \cdot 10^9$  световых лет.

### 13.11 Сверхновые звёзды

Если звезда существенно тяжелее Солнца, то она живёт существенно меньше Солнца и заканчивает свою жизнь так называемой вспышкой сверхновой звезды, в которой выделяется излучение, превосходящее излучение Солнца за всю его жизнь. Светимость сверхновой превосходит светимость целой галактики. Этот взрыв происходит в результате гравитационного коллапса, когда внутри звезды образуется достаточно массивное ядро негорючего железа, которое продолжает сжиматься под действием гравитации. В таких взрывах создаются элементы, более тяжёлые, чем железо. Последняя яркая вспышка, произошедшая недалеко от нашей галактики, наблюдалась в 1987 году и получила название SN1987A.

Самые лёгкие сверхновые возникают тогда, когда две звезды близки друг к другу, и более тяжёлая из них натягивает на себя вещество своей соседки. Когда она становится тяжелее Солнца в 1,4 раза, то происходит взрыв. Сверхновые с массами 1,4 солнечных масс послужили своеобразными „космическими свечками“ при определении скоростей далёких галактик (см. раздел 15.3)

В результате вспышки лёгкой сверхновой образуется

нейтронная звезда. Нейтронной называют звезду, в которой большинство электронов и протонов превратились в нейтроны и нейтрино. Быстро вращающаяся нейтронная звезда выглядит как пульсирующий источник излучения радиоволн — пульсар. Звёзды с массами существенно большими превращаются в чёрные дыры. Что такое чёрная дыра см. в разделе 16.4.

## Глава 14

# Другие галактики

### 14.1 Открытие галактик \*

На расстоянии примерно 200 тысяч световых лет находятся маленькие „спутниковые галактики“ нашей Галактики — Магеллановы облака. (Кстати, именно в Большом Магеллановом Облаке вспыхнула сверхновая SN1987A.) На расстоянии 2 млн световых лет находится ближайшая к нам большая галактика — Андромеда, которая видна невооружённым глазом как крошечное туманное пятнышко. В течение XX века в телескопы были открыты 350 миллиардов других больших галактик. Полное число звёзд во всех галактиках порядка  $10^{22} - 10^{23}$  [12].

### 14.2 Разбегание галактик \*

В 1929 году Хаббл обнаружил, что чем дальше расположена галактика, тем быстрее она удаляется от нас:  $v = Hr$ , где  $v$  — скорость удаления,  $r$  — расстояние до галактики,  $H$  — константа Хаббла. Затем более точные измерения показали, что  $H \approx 70$  км/с Мпс. Самые далёкие галактики находятся от нас на расстоянии  $1/H \approx 15$  миллиардов световых лет. Грубо говоря, расстояние до галактики определяют по её наблюдаемой яркости, а её

скорость по красному смещению её излучения.

### 14.3 Красное и синее кинематическое смещение \*

Если покоящийся источник света испускает в нашу сторону фотон с энергией  $E$ , то тот же источник, приближающийся к нам со скоростью  $v$  (в единицах  $c = 1$ ), испускает фотон с энергией  $E\sqrt{\frac{1+v}{1-v}}$ , а удаляющийся с той же скоростью источник испускает фотон с энергией  $E\sqrt{\frac{1-v}{1+v}}$ . Соответственно меняются частота и длина волны наблюдаемого нами

### 14.4 Гравитационное смещение \*

Рассмотрим теперь источник и детектор излучения, покоящиеся во внешнем статическом гравитационном поле, например, в поле Земли. Такой опыт проводился в башне Гарвардского университета в 1960х годах. В ней источник и детектор помещали попеременно один на чердаке, другой в подвале. Энергия и частота фотона, летящего в статическом поле, не меняются, но его импульс возрастает, когда он летит вниз, и уменьшается, когда он летит вверх. Фотон, летящий вверх, краснеет, а летящий вниз синееет. Такое смещение длины волны называется гравитационным. Подробное рассмотрение этого явления можно найти в статьях [13]. Часто встречающееся в литературе утверждение, что в статическом гравитационном поле меняется частота фотона, основано на ошибочном применении к релятивистским частицам понятия потенциальной энергии.

### 14.5 Квазары и гамма-всплески

На расстояниях порядка миллиардов световых лет обнаружены самые мощные источники излучения во Вселенной — квазары и гамма-всплески.



Термин „квazar“ был образован из слов „квази“ и „звезда“. Излучение квазара может в сотни раз превосходить излучение обычной галактики, а его размер при этом очень мал: сравним с размером Солнечной системы. Как полагают, излучение квазаров возникает при падении вещества на массивные чёрные дыры, находящиеся в центре далёких галактик. Квазары были обнаружены по их излучению в радиоволновом диапазоне.

Гамма-всплесками называют короткие всплески гамма излучения продолжительностью порядка секунд или минут.

## Глава 15

# Большой взрыв

### 15.1 Расширяющаяся Вселенная\*

Примерно 15 миллиардов лет тому назад произошёл большой взрыв, в результате которого возникла наша Вселенная. В первые мгновения она расширялась экспоненциально быстро. Это была так называемая инфляция, которая обеспечила однородность и изотропию Вселенной. (Очень маленькие, порядка  $10^{-5}$ , неоднородности привели много позже к образованию галактик.) Затем началась стадия более медленного, степенного расширения и охлаждения Вселенной. В начале этого расширения все частицы были релятивистскими, но через секунду только нейтрино (антинейтрино) и электроны (позитроны) имели скорости, сравнимые со скоростью фотонов.

### 15.2 Остывающая Вселенная\*

В это время температура Вселенной  $T$  и её возраст  $t$  были связаны соотношением

$$4\pi^3 G_N T^4 t^2 \approx 1, \quad (15.1)$$

или  $10T^2 t / m_P \approx 1$ . Учтём теперь, что  $\hbar \approx 6.6 \cdot 10^{-22}$  Мэв·с и что  $m_P \approx 10^{22}$  Мэв, и получим  $t \approx T^{-2}$ , где

$t$  выражено в секундах, а  $T$  выражено в МэВ (простой вывод этой формулы см. например в разделе 27.1 книги [14]).

Через три минуты Вселенная остыла до температуры  $T \approx 10^9 \text{ К} \approx 0,1 \text{ МэВ}$  и состояла в тот момент в основном из фотонов и нейтрино, а также малых количеств (порядка  $10^{-9}$ ) электронов, протонов и ядер дейтерия и гелия. Очень подробно и ясно это описано в замечательной книге Вайнберга [15]. Как возникла эта маленькая барионная и лептонная асимметрия, определившая характер эволюции вселенной, мы пока не знаем.

### 15.3 Космическое микроволновое излучение СМВ

Через 300 000 лет электроны остыли до температуры 1 эВ и образовали вместе с ядрами водорода и гелия атомы этих элементов. Испущенные в то время фотоны дожили до нашего времени, остыв при этом до  $2,3 \cdot 10^{-4} \text{ эВ} \approx 2,7 \text{ К}$  и превратившись в радиоволны. Это космическое микроволновое излучение (Cosmic Microwave Background — СМВ) было предсказано в 1940х годах и открыто в 1965 году.

### 15.4 Тёмная материя

С 1930х годов известно, что периферийные звёзды в Галактике движутся быстрее, чем они должны были бы двигаться под воздействием видимого вещества Галактики. Это объяснили тем, что в Галактике количество невидимого вещества — тёмной материи, природа которой неизвестна, примерно в пять раз превышает количество обычного вещества, излучающего свет. В 1960х годах на роль такой тёмной материи стали претендовать так называемые зеркальные частицы, которые взаимодействуют с зеркальными фотонами, а с обычными фотонами не взаимодействуют (см. ниже). В последующем наиболее

вероятными претендентами на роль тёмной материи стали считать нейтральные массивные суперчастицы (см. ниже). Выяснить природу тёмной материи можно в экспериментах в низкофоновых подземных лабораториях по следу, который оставит обычная частица, если по ней ударит частица тёмной материи.

### 15.5 Тёмная энергия

Тёмной энергией, открытой в 1998 году, назвали явление, которое не может быть вызвано какими-либо частицами.<sup>1</sup> Оно заключается в том, что огромные пустоты между очень далёкими скоплениями галактик продолжают расти. Энергия этого загадочного роста пустого пространства, который часто называют антигравитацией, в три раза превышает энергию покоя тёмной и обычной материи вместе взятых.

<sup>1</sup>Это открытие было отмечено Нобелевской премией в октябре 2011 года.

## Глава 16

# Квантовая гравитинамика

### 16.1 ОТО: три канонических эффекта \*

Обычно, говоря об описании релятивистских эффектов в теории гравитации, имеют в виду Общую теорию относительности Эйнштейна (ОТО, 1916). Как известно, из этой теории следуют три следующих эффекта, ставших теперь каноническими.

1) Отклонение луча света гравитационным полем, впервые наблюденное во время солнечного затмения 1919 года, а впоследствии в многочисленных гравитационных линзах.

2) Смещение длины волны фотона в гравитационном поле, измеренное в 1960х годах.

3) Вековая прецессия перигелия Меркурия, известная ещё с XIX века.

В рамках ОТО они объясняются тем, что гравитирующее тело искривляет вокруг себя пространство и время, а фотон или любая другая частица или тело движут-

ся в этом кривом пространстве–времени, описываемым метрическим тензором  $g_{\mu\nu}$ , в соответствии с принципом наименьшего действия.

### 16.2 Гравитон и КГД \*

Следует подчеркнуть, однако, что вот уже более полувека обсуждается и другое, квантовое, объяснение этих эффектов в рамках Квантовой Гравитинамики (КГД), аналогичной Квантовой Электродинамике (КЭД). Согласно КГД, гравитационное взаимодействие возникает за счёт обмена виртуальными гравитонами — безмассовыми частицами со спином 2, подобно тому, как электромагнитное взаимодействие возникает за счёт обмена фотонами, частицами со спином 1. Все три канонических эффекта ОТО вычисляются в КГД элементарно по теории возмущений. При низких энергиях, характерных для этих эффектов, теория возмущений работает в КГД с гораздо более высокой степенью точности, чем в КЭД, поскольку роль  $\alpha$  в КГД играет очень малое произведение константы Ньютона  $G_N \approx 6,7 \cdot 10^{-39} \hbar c^5 \text{ГэВ}^{-2}$  и квадрата энергии или импульса гравитона. Малость этого произведения естественным образом объясняет, почему отдельные гравитоны просто ненаблюдаемы, а гравитационные волны настолько трудно наблюдать, что это пока не сделано.

Здесь важно подчеркнуть, что в квантовой гравитинамике учитываются не только так называемые лестничные гравитонные диаграммы, но и такие по-настоящему петлевые диаграммы, в которых виртуальные гравитоны взаимодействуют между собой.

### 16.3 Неперенормируемость КГД

Константа Ньютона  $G_N$ , в отличие от безразмерной  $\alpha$ , имеет размерность  $m^{-2}$ . Поэтому все амплитуды растут как квадрат энергии, а КГД является неперенормируемой теорией в отличие от КЭД. Рост амплитуд, веро-

ятности и сечений с ростом энергии приводит к тому, что при высоких энергиях пользоваться теорией возмущений нельзя. Когда гравитационное взаимодействие становится сильным настолько, что даже лучи света перестают быть прямыми линиями, мы вынуждены говорить о том, что исходно плоское пространство-время искривлено гравитацией. У нас не остаётся способа операционно определить понятие плоского пространства при наличии сильного гравитационного поля. Как показал Минковский в 1908 году, Эйнштейн в 1905 году ввёл в физику плоское пространство-время. В 1915 году Эйнштейн ввёл искривлённое пространство-время и предсказал три канонических эффекта общей теории относительности. Поразительно, как он смог создать классическую теорию сильного гравитационного взаимодействия, располагая лишь одним малюсеньким пертурбативным эффектом (два других появились позднее, да и первый — прецессия Меркурия — был ему не очень нужен). Разумеется, классическая теория неприменима при планковских расстояниях, временах, импульсах и энергиях (см. ниже раздел „Шкала Планка“). Но в колоссальном диапазоне гравитационных явлений мы можем использовать язык ОТО и понятие метрического тензора  $g_{\mu\nu}$ .

## 16.4 Гравитационный радиус и чёрные дыры

Выражение для метрического тензора  $g_{\mu\nu}$  на расстоянии  $r$  от тела с массой  $m$ , полученное в 1916 году Шварцшильдом, имеет вид

$$g_{00} = (1 - r_g/r) \quad (16.1)$$

$$g_{rr} = -(1 - r_g/r)^{-1}, \quad (16.2)$$

где  $r_g$  — так называемый гравитационный радиус:

$$r_g = 2G_N m \quad (16.3)$$

Для Солнца  $r_g \approx 3$  км, для Земли  $r_g \approx 1$  см. Радиусы и Солнца, и Земли много больше их гравитационных радиусов. Представим себе такое массивное и компактное тело, для которого его размер меньше его гравитационного радиуса. Такие тела были названы Уилером чёрными дырами: частица, как бы быстро она ни двигалась, не сможет вылететь за пределы сферы с радиусом  $r_g$ , окружающей чёрную дыру.

Самая крупная чёрная дыра в нашей Галактике находится в её центре.

## 16.5 Принцип эквивалентности?

Знаменитый принцип эквивалентности Эйнштейна, согласно которому гравитационное поле не отличимо от равноускоренной системы отсчёта справедлив лишь постольку, поскольку поле может быть однородным. Поле любого небесного объекта не может быть однородным, т.к. размеры объекта конечны. На голову и ноги пассажира в знаменитом падающем лифте действуют приливные силы, обусловленные тем, что гравитационное поле Земли неоднородно: оно сильнее в ногах и слабее в голове. Подобные же лунные приливные силы вызывают приливы в мировом океане.

Математический аппарат ОТО безусловно правилен и не связан с принципом эквивалентности, который справедлив только в предельном и нереализуемом в природе случае, когда гравитационное поле можно считать абсолютно однородным. Мы должны быть благодарны этому принципу только за то, что в своё время он послужил тем трамплином, отталкиваясь от которого Эйнштейн открыл ОТО.

## 16.6 Шкала Планка

На стыке XIX и XX веков Планк, введя квант действия, ввёл также понятие о массе, определяемой константами

$G_N$ ,  $\hbar$  и  $c$ , которая получила название массы Планка:

$$m_P = (\hbar c / G_N)^{1/2}. \quad (16.4)$$

Легко проверить, что  $m_P = 1,22089(6) \cdot 10^{19} \text{ГэВ}/c^2 \approx 2,2 \cdot 10^{-5} \text{ г}$ .

Аналогично определяются планковские энергия  $E_P = m_P c^2$  и импульс  $p_P = m_P c$ , равные примерно  $1,2 \cdot 10^{19} \text{ГэВ}$  ( $\text{ГэВ}/c$ ), а также планковская длина  $l_P$  и планковское время  $t_P$ :  $l_P = \hbar / m_P c \approx 1,6 \cdot 10^{-35} \text{ м}$  и  $t_P = \hbar / m_P c^2 \approx 0,5 \cdot 10^{-43} \text{ с}$ . Гравитационное притяжение двух частиц, сталкивающихся с энергией, превышающей планковскую, может сравниться с их кинетической энергией и привести к образованию планковской чёрной дыры. Теория, описывающая физику на планковской шкале пока, не построена. Несомненно, что построение непертурбативной квантовой гравитации было бы великим этапом в развитии физики.

На этом мы закончим рассмотрение гравитационного взаимодействия и перейдём к короткодействующим сильному и слабому взаимодействиям.

## Глава 17

# Внутриядерные силы

### 17.1 Альфа, бета и гамма лучи \*

На стыке XIX и XX веков выяснилось, что существуют радиоактивные вещества, которые испускают  $\alpha$ ,  $\beta$  и  $\gamma$ -лучи. В дальнейшем выяснилось, что  $\alpha$ -лучи — это ядра гелия,  $\beta$ -лучи — это электроны, а  $\gamma$ -лучи — это фотоны очень высокой энергии, на много порядков большей энергии атомных фотонов.

### 17.2 Сильное взаимодействие \*

В 1910 году, пропуская  $\alpha$ -лучи через листочки золота, Резерфорд и его сотрудники обнаружили атомные ядра. Через 10 лет было установлено, что ядра содержат протоны, а ещё через десять лет — нейтроны. Взаимодействие между протонами и нейтронами, приводящее к образованию ядер, было названо сильным. Оно гораздо сильнее электромагнитного взаимодействия и характеризуется энергиями связи, измеряемыми не электрон-вольтами, а Мега-электрон-вольтами.

### 17.3 Изотопический спин

Открытие нейтрона привело к возникновению понятия изотопического спина и понятия изотопической инвариантности сильного взаимодействия. В условном изотопическом пространстве дублет протона и нейтрона отвечает двум проекциям изотопического спина нуклона:  $+1/2$  и  $-1/2$ . Математики называют симметрии типа изотопической —  $SU(2)$ . Цифра 2 здесь отвечает дублету.

### 17.4 Слабое взаимодействие \*

Исследование  $\beta$ -лучей привело к открытию слабого внутриядерного взаимодействия. Оно было названо так, потому что в ядрах оно значительно слабее электромагнитного взаимодействия, а вызванные им процессы протекают существенно медленнее электромагнитных процессов. Основной слабый процесс в ядре — это  $\beta$ -распад нейтрона  $n$  в протон  $p$ . В 1930-ые годы стало ясно, что этот процесс происходит с испусканием электрона  $e$  и долгое время остававшейся гипотетической частицей — нейтрино  $\nu$  (более точно антинейтрино  $\bar{\nu}$ ):



### 17.5 Нейтрино и четырёхфермионное взаимодействие \*

Гипотеза о существовании нейтрино была выдвинута в 1930 году Паули. В 1934 году Ферми предложил четырёхфермионную теорию, согласно которой  $\beta$ -распад возникает в результате взаимодействия двух слабых токов: нуклонного  $\bar{n}p$  и лептонного  $\bar{e}\nu$  с константой взаимодействия  $G_F/(\hbar c)^3 = 1,16637(1) \cdot 10^{-5} \text{ ГэВ}^{-2}$ . То же взаимодействие должно приводить к реакции образования нейтрона и позитрона при столкновении антинейтрино с

протоном:  $\bar{\nu} + p \rightarrow e^+ + n$ . Наблюдение этой реакции под воздействием потока антинейтрино, испускаемых ядерным реактором, удалось впервые осуществить в 1956 году.

### 17.6 Деление ядер \*

В конце 1930-х годов было обнаружено явление деления некоторых тяжёлых ядер на более лёгкие после попадания в них нейтронов с выделением энергии порядка ста МэВ. Поскольку при этом испускаются свободные нейтроны, которые могут приводить к делению других ядер, возникла идея о возможности осуществления цепной реакции деления. Эта цепная реакция была впервые осуществлена в ядерном реакторе в 1942 году и атомной бомбе в 1945 году.

### 17.7 Слияние ядер \*

Также в конце 1930-х годов стало ясно, что совокупность процессов сильного и слабого взаимодействия приводит при высоких температурах к реакциям синтеза, слияния ядер с выделением энергии, в которых протоны и электроны превращаются в тяжёлые изотопы водорода. А последние объединяются в ядра гелия, а затем и в более тяжёлые ядра. Стало ясно, что именно благодаря этим термоядерным реакциям слияния ядер происходит излучение энергии в Солнце и звёздах. В 1953 году была взорвана первая термоядерная бомба.

### 17.8 От ядер к частицам \*

Открытие и исследование ядерных взаимодействий дало человечеству новые мощные источники энергии и позволило понять, как светят звёзды.

Важнейшим следствием этого исследования стало открытие элементарных частиц материи, к которым мы сейчас переходим.

## Глава 18

# Частицы в космических лучах

### 18.1 Позитрон \*

Первой частицей, открытой в космических лучах, был позитрон. Космические лучи — поток частиц, падающих на Землю из космического пространства — были открыты в 1912 году. В 1932 году Андерсон обнаружил, что космические лучи, сталкиваясь с веществом, рожают частицы, имеющие ту же массу, что и электрон, но противоположный знак заряда. Так была открыта первая античастица, предсказанная за два года до того Дираком.

### 18.2 Мюон \*

В 1938 году Андерсон и Недермейер открыли мюоны,  $\mu^\pm$ -частицы с массой примерно  $105 \text{ МэВ}/c^2$ , рождавшиеся космическими лучами высоко в атмосфере и долетавшие до Земли, несмотря на то, что, как выяснилось позднее, время жизни покоящегося мюона составляет две микросекунды. Таким образом, было открыто явление,

предсказанное специальной теорией относительности: время жизни релятивистской частицы с энергией  $E$  и массой  $m$  возрастает в  $E/mc^2$  раз. Это явилось яркой демонстрацией того, что движение частицы в плоском пространстве–времени продлевает её жизнь.

Вместе с тем, открытие мюона было первым шагом на пути открытия многочисленных элементарных частиц, которые на первый взгляд не играют роли ни в реакторах, ни в бомбах, ни в звёздах. Но именно эти частицы позволили понять, как на самом деле устроены сильные, слабые и электромагнитные взаимодействия.

### 18.3 Три пиона \*

В 1947 году были открыты сильновзаимодействующие заряженные  $\pi^\pm$ -мезоны с массой  $140 \text{ МэВ}$ . Установлено, что они распадаются по схеме  $\pi \rightarrow \mu + \nu$  за счёт слабого взаимодействия и что мюон  $\mu$  — это частица, не обладающая сильным взаимодействием, представляющая собой тяжёлый аналог электрона. Существование пионов было предсказано ещё в 1935 году. Обмен пионами между нуклонами ядра должен был объяснить ядерные силы. Ожидали, что наряду с заряженными пионами существует и нейтральный пион  $\pi^0$ . Но его открыли лишь в начале 1950-х годов. Эта частица с массой  $135 \text{ МэВ}/c^2$  распадается на два фотона. Три пиона образуют изотопический триплет ( $T_3 = +1, 0, -1$ ) подобно тому, как два нуклона образуют изотопический дублет. В 1949 Ферми и Янг предложили составную модель пионов, в которой они представляют собой связанные состояния нуклона и (ещё неоткрытого в то время) антинуклона.

### 18.4 Странные частицы \*

Тогда же, в конце сороковых — начале пятидесятых годов, в космических лучах наблюдались первые так называемые странные частицы —  $K$ -мезоны с массой около  $500 \text{ МэВ}$ . А вслед за ними — первые странные барионы, по-

лучившие название гиперонов:  $\Lambda^0, \Sigma^+, \Xi^-$ . Странными эти частицы назвали потому, что рождались они часто и быстро (за счёт сильного взаимодействия), а распадались на сильновзаимодействующие частицы медленно (за счёт слабого). Были открыты дублет  $K^+, K^0$  с положительной странностью и дублет соответствующих античастиц  $K^-, \bar{K}^0$  с отрицательной странностью. При столкновении нестранных частиц  $K$ -мезоны рождались совместно с анти- $K$ -мезонами или с гиперонами, так что суммарная странность сохранялась.

## 18.5 Странность

Формально странность была определена формулой

$$Q = T_3 + B/2 + S/2, \quad (18.1)$$

где  $Q$  — заряд частицы,  $T_3$  — проекция её изотопического спина,  $B$  — её барионное число (равно +1 для бариона, -1 для антибариона, 0 для мезона),  $S$  — странность. Из этой формулы видно, что странность пионов и нуклонов равна нулю, странность  $K$ -мезонов равна +1, странность  $\bar{K}$ -мезонов и  $\Lambda^0, \Sigma^\pm$ -гиперонов равна -1, а странность  $\Xi$ -гиперонов равна -2.

# Глава 19

## Частицы на ускорителях

### 19.1 Открытие барионных резонансов и антинуклонов \*

С начала 1950-х годов изучение элементарных частиц перемещается на специально построенные для этой цели ускорители.

В 1952 году в рассеянии пионов нуклонами открыты первые резонансные состояния — четыре частицы  $\Delta^{++}, \Delta^+, \Delta^0, \Delta^-$  с массами примерно 1230 МэВ, быстро распадавшиеся за счёт сильного взаимодействия на нуклон и пион.

В 1955 году на ускорителе рождены антипротоны  $\bar{p}$ . В следующем году произведены и наблюдаются антинейтроны  $\bar{n}$ .

### 19.2 Модель Сакаты

В 1956 году, обобщая модель Ферми-Янга, Саката предположил, что из всех известных в то время барионов и мезонов наиболее фундаментальными являются изо-



топический дублет нуклонов и изотопический синглет  $\Lambda^0$ , а остальные построены из них и их античастиц (см. например [16]).

### 19.3 Модель трёх сакатонов

В 1957-58 годах была выдвинута другая гипотеза о том, что все известные в то время барионы и мезоны, в том числе и сами  $p, n, \Lambda$ , построены из трёх более фундаментальных частиц с квантовыми числами изотопического дублета и синглета барионов (и соответствующих античастиц). Эти более фундаментальные частицы — одна заряженная и две нейтральные — получили название сакатонов. Все мезоны в этой модели состояли из сакатона и антисакатона, все барионы — из двух сакатонов и одного антисакатона.

В рамках модели сакатонов были сформулированы правила отбора для процессов сильного и слабого взаимодействий. В частности, были предсказаны изотопические  $SU(2)$  свойства слабых токов, как не меняющих странности, так и меняющих её. Была рассмотрена гипотеза о существовании более общей симметрии сильного взаимодействия, вскоре получившей наименование  $SU(3)$ . Эта симметрия предполагалась нарушенной тем, что масса двух первых сакатонов меньше массы третьего. Было предположено, что слабый ток, переводящий первый сакатон во второй (и потому сохраняющий странность), имеет константу слабого взаимодействия примерно в четыре раза большую, чем у слабого тока, переводящего первый сакатон в третий (и потому изменяющего странность).

### 19.4 Октет и синглет псевдоскалярных мезонов

В модели сакатонов было предсказано существование двух псевдоскалярных мезонов с изотопическим спином,

равным нулю, получивших впоследствии название  $\eta$  и  $\eta'$ - мезонов. Первый из них —  $\eta$ -мезон с массой 548 МэВ был открыт в 1961 году. Вместе с тремя  $\pi$ -мезонами и четырьмя  $K$ -мезонами он образовал первый мезонный октет в рамках  $SU(3)$  симметрии, в основе которой лежало предположение, что массы и сильные взаимодействия трёх сакатонов приближённо одинаковы. Мезон  $\eta'$  был открыт в 1964 году. Его масса оказалась равна 958 МэВ. Это был первый мезонный  $SU(3)$  синглет.

### 19.5 Девять векторных мезонов

В 1961 году появились первые экспериментальные данные о девяти векторных мезонах: изотопический триплет  $\rho$ -мезонов с  $m \approx 770$  МэВ, синглетный  $\omega$ -мезон с  $m \approx 780$  МэВ, два дублета  $K^*$  и  $\bar{K}^*$  с  $m \approx 890$  МэВ и вслед за этим  $\phi$ -мезон с  $m \approx 1020$  МэВ.

### 19.6 Октет барионов \*

Успешно описав октет и синглет мезонов, модель сакатонов не смогла объяснить существование октета барионов со спином  $\frac{1}{2}$ : двух нуклонов ( $m \approx 940$  МэВ) и шести гиперонов (одного  $\Lambda$  ( $m \approx 1115$  МэВ), трёх  $\Sigma$  ( $m \approx 1200$  МэВ), двух  $\Xi$  ( $m \approx 1320$  МэВ)).

### 19.7 Декуплет барионов

В 1960 году в дополнение к четырём  $\Delta$ -барионам с  $m \approx 1230$  МэВ со спином и чётностью  $\frac{3}{2}^+$  был открыт  $\Sigma^+$ -гиперон с  $m \approx 1385$  МэВ и теми же спином и чётностью и появились первые указания на существование  $\Xi^-$  с  $m \approx 1535$  МэВ. Это дало основание Гелл-Манну в 1962 году предсказать существование десятого бариона  $\Omega^-$  с массой  $m \approx 1685$  МэВ в декуплете с  $J^P = \frac{3}{2}^+$ . Эта частица была открыта в 1964 году.

## 19.8 Рочестерская конференция в ЦЕРНе, 1962

В 1962 году на конференции в ЦЕРНе было объявлено об открытии в Брукхевенской Национальной Лаборатории мюонного нейтрино  $\nu_\mu$  и появился термин адрон.

## 19.9 Три кварка \*

В 1964 году Гелл-Манн и Цвейг выдвинули гипотезу о существовании трех кварков  $u, d, s$  с дробными электрическими зарядами ( $+2/3$  у  $u$  и  $-1/3$  у  $d$  и  $s$ ) и барионным числом  $1/3$ . Это позволило им объяснить существование  $SU(3)$  октета и декуплета барионов как связанных состояний трёх кварков. Так, например,  $uuu$  представляет  $\Delta^{++}$ ,  $ddd - \Delta^-$ , а  $sss - \Omega^-$ . Протон в этой схеме состоит из  $uud$ , нейтрон — из  $udd$ , а  $\Lambda^0$ -гиперон — из  $uds$ .

## Глава 20

# Три дискретные симметрии

## 20.1 Операции С,Р,Т \*

Экспериментальное изучение  $K$ -мезонов привело в 1956 году к постановке экспериментов по проверке границ применимости трёх дискретных симметрий: С, Р, Т.

Рассмотрим любой процесс, обусловленный каким-либо взаимодействием.

Мысленно произведём над ним одну из трёх следующих операций:

1. Заменяем все участвующие в процессе частицы их античастицами. Эта операция называется зарядовым сопряжением и обозначается буквой С (от английского термина Charge conjugation — зарядовое сопряжение).

2. Отразим процесс в зеркале, или изменим знаки у всех трёх пространственных осей. (Изменение знака у одной оси и вращение вокруг неё на  $180^\circ$  меняет знаки всех трёх осей.) Эта операция называется пространственным отражением и обозначается буквой Р (от английского термина Parity — чётность). При этой операции векторы положения  $\mathbf{r}$  и импульса  $\mathbf{p}$  меняют знак (они нечётны),

а псевдовекторы (их ещё называют аксиальными векторами) углового момента  $\mathbf{L}$  и спина  $\mathbf{S}$  знака не меняют (они чётны).

3. Обратим знак течения времени. Эта операция называется обращением времени и обозначается  $T$  (от английского термина Time reversal).

Электромагнитное взаимодействие инвариантно относительно каждого из этих трёх преобразований: они переводят любой электромагнитный процесс в другой процесс, который также может происходить в природе.

В дальнейшем выяснилось, что тем же свойством обладают гравитационные и сильные взаимодействия. Но в 1956 году было установлено, что слабое взаимодействие стопроцентно нарушает  $P$  и  $C$ , а в 1964 году, что оно же несколько нарушает  $CP$ -инвариантность (см. ниже). Если сохраняется  $CPT$ -инвариантность, то это означает, что нарушена также и  $T$ -инвариантность.

$CPT$ -инвариантность заложена в основы описываемой картины природы. Опыты пока не обнаружили её нарушения.

## 20.2 Несохранение зеркальной симметрии $P$ \*

В 1956 году факт распада  $K^+$ -мезона на два и три пиона заставил поставить вопрос о несохранении  $P$ -симметрии в слабых взаимодействиях. Специально поставленные опыты, предложенные Ли и Янгом, в начале 1957 года показали, что эта симметрия нарушается в слабых процессах максимально возможным образом.

## 20.3 Несохранение зарядовой симметрии $C$ \*

Тогда же стало ясно, что в слабых процессах стопроцентно нарушается и зарядовая симметрия  $C$ .

## 20.4 Гипотеза о сохранении $CP$ симметрии

В 1957 году Ландау высказал гипотезу о том, что в природе должна иметь место строгая симметрия относительно комбинированного  $CP$  преобразования.

## 20.5 Сохраняющийся векторный ток

В 1955 году Герштейн и Зельдович выдвинули гипотезу сохраняющегося векторного слабого тока для нуклонов и  $\pi$ -мезонов. Согласно этой гипотезе, константа векторного слабого взаимодействия, переводящего нейтрон в протон, не модифицируется сильными взаимодействиями, подобно тому, как не модифицируется виртуальными частицами электрический заряд протона. На основе этой гипотезы константа  $\beta$ -распада пиона должна быть в  $\sqrt{2}$  раз больше константы нуклона. Спустя три года эта же гипотеза была выдвинута Фейнманом и Гелл-Манном. Вскоре опыт подтвердил её справедливость. Идея сохранения векторного тока сыграла важнейшую роль в создании Стандартной Модели.

## 20.6 $V$ - $A$ ток и частицы с левой спиральностью

В 1958 году Маршак и Сударшан, Фейнман и Гелл-Манн, и независимо Сакураи выдвинули гипотезу о том, что все слабые процессы обусловлены взаимодействием различных слагаемых слабого универсального  $V$ - $A$  тока с его эрмитово сопряжённым током.

Например, электронное слагаемое имеет вид  $\bar{e}\gamma^\alpha(1 + \gamma^5)\nu_e$ , где  $\bar{e}$  представляет волновую функцию рождающегося электрона,  $\nu_e$  — волновую функцию поглощаемого электронного нейтрино,  $\bar{e}\gamma^\alpha\nu_e$  — векторная  $V$  часть тока, а  $-\bar{e}\gamma^\alpha\gamma^5\nu_e$  — его аксиально-векторная  $A$  часть. Анало-

гичным образом выглядит и мюонное слагаемое, а в сакатонной модели — и слагаемые  $\bar{n}p$  и  $\bar{L}p$ . В дальнейшем на смену сакатонным токам пришли кварковые токи  $\bar{d}u$  и  $\bar{s}u$ .

Такой вид слабого тока означает, что в ультрарелятивистском пределе, когда  $E \gg mc^2$ , в слабом взаимодействии участвуют только так называемые левополяризованные частицы, спин которых направлен против их импульса. Про такие частицы говорят, что они имеют левую спиральность. Спиральность безмассовых частиц является точным квантовым числом. Спиральность же частиц, обладающих массой,— это понятие не лоренц-инвариантное. Нарушителем строгой спиральности является масса частицы  $m$ .

## 20.7 Спиральность и киральность\*

Сильное нарушение зеркальной симметрии в слабом взаимодействии напоминает нарушение симметрии между левым и правым в живой природе. Напомню, что никакими перемещениями в пространстве левая и правая руки не могут быть совмещены друг с другом, как не могут быть совмещены тетраэдры с вершинами ABCD и ABDC. Про них говорят, что у них противоположные киральности. Слово киральность (от греческого слова рука  $\chi\epsilon\iota\rho$ ) ввёл в 1904 году лорд Кельвин. Как известно, всё живое обладает диссимметрией — полнейшим нарушением симметрии между левым и правым.

## 20.8 Несохранение CP \*

В 1964 году был открыт распад  $K_L^0 \rightarrow \pi^+\pi^-$ . Поскольку до этого считали, что долгоживущий  $K_L^0$  имеет отрицательную CP-чётность, а система  $\pi^+\pi^-$  должна иметь положительную CP-чётность, то заключили, что CP-чётность нарушается. До этого считалось, что на  $\pi^+\pi^-$

может распадаться только короткоживущий  $K_S^0$ -мезон.

## 20.9 Зеркальные частицы как первый вариант тёмной материи

Чтобы в какой-то мере восстановить симметрию между процессом и его зеркальным отражением, была выдвинута гипотеза о существовании т.н. зеркальных частиц, у которых нет ни электромагнитного, ни слабого, ни тем более сильного взаимодействия с обычными частицами. Но все эти взаимодействия существуют между зеркальными частицами, причём фаза, нарушающая CP симметрию, имеет у них иной знак. Очевидно, что обладать зеркальными двойниками должны, согласно этой гипотезе, все фермионы и бозоны. Единственным исключением является гравитон. Истинная природа тёмной материи пока экспериментально не установлена.

## Глава 21

# Спустя полвека

Что произошло в физике элементарных частиц за годы, прошедшие после публикации гипотезы о существовании кварков?

### 21.1 Шесть кварков \*

Начнём с того, что с трёх до шести выросло число кварков: к  $u, d, s$ -кваркам добавились тяжёлые  $c, b, t$ -кварки. Первые адроны, содержащие  $c$ -кварк, были открыты в 1974 году. Первые адроны, содержащие  $b$ -кварк были открыты в 1977 году. Наконец, самый тяжёлый кварк —  $t$  — был открыт в 1995 году.

### 21.2 Шесть лептонов \*

С четырёх до шести выросло число лептонов: к  $e, \mu, \nu_e, \nu_\mu$  добавился в 1975 году тяжёлый лептон  $\tau$ , а затем и его нейтрино.

### 21.3 Три поколения \*

В результате кварки и лептоны образовали три поколения фундаментальных фермионов со спином  $1/2$ :

$u$	$c$	$t$
$d$	$s$	$b$
$\nu_e$	$\nu_\mu$	$\nu_\tau$
$e$	$\mu$	$\tau$

### 21.4 Электрослабые бозоны \*

В 1967 году была создана электрослабая теория, и в рамках этой теории было предсказано существование электрослабых векторных бозонов:  $W^+, W^-$  и  $Z^0$  со спином, равным единице. Обмен  $W$ -бозонами между заряженными слабыми токами приводит к обычным слабым взаимодействиям типа  $\beta$ -распада.  $Z$ -бозон осуществляет новый тип слабого взаимодействия между нейтральными токами. Взаимодействия нейтральных слабых токов были открыты в ЦЕРН в 1973 году. А затем там же был построен специальный коллайдер, на котором в 1983 году были открыты  $W$ - и  $Z$ -бозоны.

Последний неоткрытый элемент электрослабой теории — скалярный бозон со спином, равным нулю. Этот бозон называют хиггсом и обозначают буквой  $H$ . Для поисков этого  $H$ -бозона и более глубокого выяснения природы электрослабого взаимодействия в ЦЕРН построен Большой Адронный Коллайдер ЛНС.

### 21.5 Глюоны \*

В 1972 году была сформулирована квантовая хромодинамика — теория сильного взаимодействия между кварками за счёт обмена между ними новыми частицами со спином единица — глюонами, которые обозначают буквой  $g$ . Более подробному описанию квантовой хромодинамики и теории электрослабого взаимодействия будут посвящены две последующие главы.

## 21.6 Все фундаментальные бозоны \*

А пока перечислим все фундаментальные бозоны, с которыми мы познакомились: одна частица со спином 2 — гравитон ; пять частиц со спином 1 (фотон, три электрослабых бозона и глюон); и наконец, одна частица со спином 0 — хиггс.

## Глава 22

# О квантовой хромодинамике

### 22.1 Цвет и SU(3) симметрия \*

Только что (в конце предыдущей главы) упомянутые числа — шесть кварков и один глюон — должны быть немедленно исправлены. Дело в том, что каждый из шести кварков на самом деле существует в трёх различных ипостасях, которые получили название цветов. А глюон существует в восьми различных цветовых ипостасях.

И то, и другое обусловлено существованием цветовой SU(3) симметрией, гораздо более фундаментальной, чем приближённая симметрия между тремя лёгкими кварками  $u$ ,  $d$ ,  $s$ . Цветовая симметрия была открыта в результате сопоставления самых разных закономерностей сильных взаимодействий, установленных многочисленными экспериментами.

### 22.2 Цветные кварки \*

Мы знаем, что есть 6 кварков с барионным числом  $1/3$  у каждого и с электрическими зарядами  $+2/3$  у  $u$ ,  $c$ ,  $t$  и

$-1/3$  у  $d, s, b$ . Каждый кварк существует в виде трёх цветовых разновидностей: жёлтый — ж, синий — с, красный — к. Аналогично антикварки „покрашены“ в дополнительные цвета: фиолетовый — ф, оранжевый — о, зелёный — з. Разумеется, никакого отношения эти „цвета“ к цветам оптического спектра не имеют. Но ими удобно пользоваться для обозначения специфических „зарядов“, характеризующих взаимодействия кварков. При этом состоящие из кварков адроны цветового заряда не имеют. Их называют бесцветными или белыми.

### 22.3 Цветные глюоны \*

Кварки взаимодействуют между собой, обмениваясь восемью цветными глюонами:  $8 = 3 \times 3 - 1$ . Сочетание жф+со+кз является белым. Белыми являются все адроны. Так что сильные взаимодействия между адронами (включая ядерные силы) похожи на силы между электрически нейтральными атомами. Так же и силы между адронами слабее по-настоящему сильных цветовых сил между цветными глюонами и кварками.

### 22.4 Конфайнмент \*

Цветовые силы обладают замечательным свойством конфайнмента. Цветные частицы не могут вылететь из белых адронов, поскольку они не могут существовать в свободном состоянии.

Хотя всё, что мы знаем об адронах, согласуется с гипотезой конфайнмента, последовательной количественной теории этого замечательного явления пока нет.

### 22.5 Массы нуклонов

Масса нуклона, грубо говоря, равна сумме кинетических энергий находящихся в нём ультрарелятивистских кварков, которые в силу конфайнмента вынуждены возвращаться вглубь нуклона. Поворот их импульса вблизи

радиуса конфайнмента напоминает отклонение заряженных частиц магнитным полем.

### 22.6 Киральный предел \*

В пределе, когда массами лёгких кварков ( $u, d$ ) можно пренебречь и положить их равными нулю, масса нуклонов практически бы не изменилась. А вот масса пионов изменились бы радикально: пионы стали бы безмассовыми частицами. При этом оказались бы вырожденными по энергии состояния с произвольным числом пионов нулевой энергии. Поскольку пионы псевдоскалярны, то это отвечало бы строгому сохранению аксиального тока (CAC — Conserved Axial Current). Такой предел называют киральным, т.к. при этом по-отдельности сохранялись бы токи лево- и право-поляризованных лёгких кварков. На опыте, конечно, пионы не безмассовы, но они примерно в 7 раз легче нуклонов и примерно в 5 раз легче  $\rho$ -мезонов, также состоящих из лёгких кварков. Так что приближённо киральная симметрия имеет место. И этому соответствует частично сохраняющийся аксиальный ток (PCAC — Partially Conserved Axial Current).

### 22.7 Массы пионов

Знание массы пионов позволяет оценить массы лёгких кварков  $q = u, d$ , если предположить, что

$$m_q/F_\pi = m_\pi^2/m_\rho^2, \quad (22.1)$$

где  $F_\pi = f_\pi/\sqrt{2} \approx 93\text{МэВ}$  — константа, характеризующая взаимодействие пиона с аксиальным током. Обоснование этой формулы обсуждается в главе 19 книги Вайнберга „Квантовая теория поля“ [3]. Отсюда следует, что масса лёгких кварков порядка 10 МэВ.

Из того, что протон легче нейтрона следует, что  $u$ -кварк легче  $d$ -кварка.

## 22.8 Массы других кварков

Из данных по массам странных частиц следует, что масса  $s$ -кварка  $m_s \approx 100$  Мэв. Масса  $c$ -кварка  $m_c \approx 1,3$  ГэВ, масса  $b$ -кварка  $m_b \approx 5$  ГэВ, масса  $t$ -кварка  $m_t \approx 170$  ГэВ.

## 22.9 КХД амплитуды в физике коллайдеров

Сегодня КХД является основным рабочим инструментом при расчётах рождения адронов на Большом Адронном Коллайдере. Лекции о современной технике вычисления древесных (т.е. не содержащих петель) диаграмм Фейнмана в КЭД и КХД см. в [17].

# Глава 23

## Об электрослабой теории

### 23.1 Промежуточные бозоны \*

Заряженные слабые токи взаимодействуют между собой, обмениваясь  $W^\pm$ -бозонами. Их масса  $m_W \approx 80$  ГэВ. Нейтральные слабые токи взаимодействуют между собой, обмениваясь  $Z^0$ -бозонами. Их масса  $m_Z \approx 91$  ГэВ. Отношение  $m_W/m_Z = \cos \theta_W$  определяет величину важного параметра электрослабого взаимодействия  $\theta_W$ , который называют углом Вайнберга. Константа Ферми  $G_F$  (см. раздел 17.4) следующим образом выражается через массу  $W$ -бозона:

$$G_F = \pi\alpha/\sqrt{2}m_W^2 \sin^2 \theta_W. \quad (23.1)$$

Из этой формулы видно, что малость константы Ферми обусловлена большой величиной массы  $W$ -бозона. На опыте измерено  $\sin^2 \theta_W \approx 0,22$ .



## 23.2 Игрушечная модель SU(2) × U(1)

Рассмотрим игрушечную модель электрослабого взаимодействия, в которой есть два безмассовых лептона  $e$  и  $\nu$  и четыре безмассовых векторных бозона  $W^+$ ,  $W^-$ ,  $W^0$  и  $B^0$ . Пусть  $W$ -бозоны представляют собой компоненты изотопического триплета относительно группы SU(2), а  $B$ -бозон - синглет относительно групп SU(2) и U(1).

В соответствии с тем, что в слабом взаимодействии участвуют лишь левополяризованные частицы (см главу 20), предположим, что левые лептоны образуют изотопический дублет, так что  $T_3=1/2$  для  $\nu_L$  и  $T_3=-1/2$  для  $e_L$ , а правые лептоны — изосинглеты:  $T(\nu_R) = T(e_R) = 0$ . Предположим, что источником триплета  $W$ -бозонов является изоспин  $T$ , а источником синглетных  $B^0$ -бозонов является величина  $Q - T_3$ , равная 0 для  $\nu_R$ , равная -1 для  $e_R$ , и равная -1/2 для  $\nu_L$  и  $e_L$ . Предположим, наконец, что синглетный и триплетный „заряды“  $g_1$  и  $g_2$  относятся как  $\sin \theta_W$  к  $\cos \theta_W$ .

## 23.3 Фотон и Z-бозон в модели SU(2) × U(1)

Рассмотрим теперь комбинацию

$$A = B^0 c + W^0 s, \quad (23.2)$$

$$Z = -B^0 s + W^0 c. \quad (23.3)$$

отвечающие фотону и  $Z$ -бозону соответственно. Тогда

$$B^0 = A c - Z s, \quad (23.4)$$

$$W^0 = A s + Z c, \quad (23.5)$$

где для краткости введены обозначения  $s = \sin \theta_W$  и  $c = \cos \theta_W$ .

Из сказанного выше следует, что  $e_L$  взаимодействует с комбинацией

$$\begin{aligned} - (B^0 s + W^0 c)/2 = \\ - (A c - Z s)s/2 - (A s + Z c)c/2 = \\ - A c s - Z(c^2 - s^2)/2, \end{aligned} \quad (23.6)$$

а  $e_R$  взаимодействует с комбинацией

$$-B^0 s = -A c s + Z s^2. \quad (23.7)$$

Учтём теперь, что векторный и аксиальный токи равны соответственно сумме и разности левых и правых токов. Тогда из последних шести формул следует, что фотон взаимодействует только с векторным током электрона, причём с константой  $-cs$ .  $Z$ -бозон взаимодействует с векторным током электрона с константой  $s^2 - \frac{1}{4}$  и с аксиально векторным током электрона с константой  $\frac{1}{4}$ .  $W^\pm$ -бозоны связаны с заряженными токами, переводящими нейтрино в электрон, а электрон в нейтрино с константой  $c$ .

## 23.4 Первый шаг к реалистичной модели

Чтобы перейти к описанию электрослабых взаимодействий всех фундаментальных фермионов, нужно добавить к дублету  $(\nu_e, e)$  два других лептонных дублета:  $(\nu_\mu, \mu)$  и  $(\nu_\tau, \tau)$ , а также кварковые дублеты.

В случае кварков очень существенным является то, что мы должны рассматривать не только три основных дублета:

$$(u, d), (c, s), (t, b),$$

с константой примерно 1,

но и шесть так сказать „смешанных“ дублетов, обеспечивающих переходы между поколениями:

$(u, s), (c, d)$ ,  
с константой примерно 0,22;  
 $(c, b), (t, s)$ ,  
с константой примерно 0,05;  
 $(t, d), (u, b)$ ,  
с константами, меньшими 0,01.

### 23.5 Второй и последний шаг

Полуигрушечная модель, описанная выше, хороша тем, что единым образом рассматривает электромагнитное и слабое взаимодействия, претендуя тем самым на описание широчайшего круга явлений. Она плоха тем, что  $W$ - и  $Z$ -бозоны в ней безмассовы, в то время, как в природе они на два порядка тяжелее нуклонов. Чтобы устранить этот недостаток, ряд теоретиков предложил использовать механизм спонтанного нарушения  $SU(2) \times U(1)$ -симметрии, получивший название по фамилии одного из авторов, ранее рассматривавших его, — механизм Хиггса.

### 23.6 Дублет скалярных полей

Для объяснения этого механизма обычно используют понятие скалярного поля  $\varphi$  и плотности потенциала этого поля  $V(\varphi) = \lambda^2(|\varphi|^2 - \eta^2)^2$ .

Здесь

$$\varphi = \begin{pmatrix} \varphi^+ \\ \varphi^0 \end{pmatrix}, \quad (23.8)$$

$\varphi$  — изотопический дублет,  $|\varphi|^2 = \bar{\varphi}^+ \varphi^+ + \bar{\varphi}^0 \varphi^0$  — изотопический скаляр,  $\lambda$  — безразмерный параметр, величина которого нам пока неизвестна.

Как будет показано чуть ниже,

$$\eta = 2^{-3/4} G_F^{-1/2} = 174 \text{ ГэВ}. \quad (23.9)$$

Параметр  $\eta$  является единственным размерным параметром теории. Через него выражаются массы всех частиц. (Замечу, что масса  $t$ -кварка равна  $172 \pm 2$  ГэВ ! Причина

этого удивительного совпадения величин  $m_t$  и  $\eta$  пока неизвестна.)

### 23.7 Спонтанное нарушение симметрии $SU(2) \times U(1)$

В результате нарушения симметрии  $SU(2) \times U(1)$ <sup>1</sup> из четырёх скалярных полей остаётся только одно — хиггсово поле  $\chi$  на фоне постоянного вакуумного конденсата  $\eta$ :

$$\varphi = \begin{pmatrix} 0 \\ \chi + \eta \end{pmatrix}. \quad (23.10)$$

Три других скалярных поля присоединяются к трём векторным полям  $W$  и  $Z$ : ведь в отличие от безмассовых векторных полей, обладающих лишь двумя компонентами, массивное векторное поле должно иметь три компоненты. Заметим, что скалярный конденсат электрически нейтрален; именно поэтому фотон остаётся безмассовым.

### 23.8 Конденсат и массы фундаментальных частиц

Как уже отмечалось выше, массы нуклонов обусловлены в основном механизмом конфайнмента и относятся к компетенции квантовой хромодинамики. Скалярный же конденсат  $\eta$  электрослабой теории даёт массы всем фундаментальным частицам: лептонам и кваркам, а также векторным  $W$ - и  $Z$ -бозонам и самому скалярному бозону  $H$ , который называют бозоном Хиггса или просто хиггсом:

$$m_W = g_2 \eta / \sqrt{2} = \sqrt{2\pi\alpha} \eta / \sin \theta_W, \quad (23.11)$$

$$m_Z = m_W / \cos \theta_W, \quad (23.12)$$

<sup>1</sup>При этом нарушается не только сохранение киральности частиц, но нарушается также и так называемая калибровочная симметрия, которая в этой книге не рассматривается.

$$m_H = 2\lambda\eta. \quad (23.13)$$

Что касается лептонов и кварков, то масса каждой из этих двенадцати частиц равна  $f\eta$ , где  $f$  — безразмерная константа, своя у каждой частицы. Для нейтрино она в районе  $10^{-13}$ , для электрона —  $3 \cdot 10^{-6}$ , для  $t$ -кварка она равна единице. К выяснению того, почему эти константы именно такие, можно будет приступить после того, как будет открыт хиггс.

### 23.9 Поиски хиггса \*

Поиски хиггса являются задачей номер один для физики высоких энергий вот уже более тридцати лет. Эту частицу пытались найти на всех крупнейших ускорителях. Она была главной целью проекта Сверхпроводящего Супер Коллайдера SSC, к сожалению не осуществлённого в США.

### 23.10 Большой Адронный Коллайдер \*

Сейчас основные надежды на выяснение того, существует ли хиггс, связаны с Большим Адронным Коллайдером LHC в ЦЕРН. Если хиггс будет открыт то это подтвердит описанную выше простую теорию. Если хиггс открыт не будет, то это будет ещё интереснее, т.к. позволит на коллайдере выяснить, как на самом деле устроено электрослабое взаимодействие при энергиях порядка и выше 1 ТэВ. В этом случае взаимодействие электрослабых бозонов должно стать сильным при энергии порядка 10 ТэВ.

Длина кольца LHC — 27 км, энергия каждого из двух протонных пучков в нём — 3,5 ТэВ. (При этой энергии он работает с марта 2010 года. Планируется с 2014 года перейти на энергию 7 ТэВ в каждом из пучков.)

### 23.11 Лето 2011: результаты поисков хиггса

Результаты поисков хиггсов и „новой“ физики на коллайдерах LHC (в детекторах ATLAS и CMS) и Tevatron (в детекторах CDF и D0) были представлены и сопоставлены на Европейской конференции по физике высоких энергий в июле 2011 года в Гренобле [18],[19],[20] и спустя месяц на конференции Лептоны-Фотоны 2011 в Мумбае [21]. Пока эти бозоны не обнаружены.

## Глава 24

# Суперсимметрия

В отличие от предыдущих двадцати трёх глав, главы 24, 25, 26 посвящены теоретическим экстраполяциям и спекуляциям, пока не получившим никакого экспериментального подтверждения. Область этих экстраполяций простирается от энергий, доступных Большому Адронному Коллайдеру, до абсолютно недоступных энергий порядка планковских.

Пожалуй, второй целью Большого Адронного Коллайдера являются поиски гипотетических так называемых суперсимметричных частиц. Понятие суперсимметрии (Supersymmetry, SUSY) появилось впервые в 1971 году и тесно связано с понятием спина. Число работ по суперсимметрии, опубликованных теоретиками за прошедшие сорок лет, составляет десятки тысяч. Ни одной частицы, предсказываемой на основе суперсимметрии, экспериментаторы пока не открыли.

### 24.1 Спинорный генератор

Ключевым понятием в суперсимметрии является понятие спинорного генератора  $Q$ , изменяющего спин частицы на  $1/2$ . Действуя на фотон, например,  $Q$  переводит его в гипотетическую частицу фотино, спин которой равен  $1/2$ .

Мы твёрдо знаем, что в природе безмассовых фотино нет. Следовательно, строгой суперсимметрии в природе нет, и она должна быть нарушена. Нет и фотино с массой порядка ГэВ, характерной для лёгких адронов. Многие ожидали, что массы суперсимметричных частиц существенно меньше ТэВ'а.

Оставив пока в стороне вопрос о нарушении суперсимметрии, рассмотрим сначала ненарушенную SUSY. Рассмотрим антикоммутатор двух спинорных генераторов:

$$[Q, \bar{Q}]_+ \equiv Q\bar{Q} + \bar{Q}Q = -2p_\mu \gamma^\mu, \quad (24.1)$$

где  $p_\mu$  — генератор четырёхмерного сдвига, а  $\gamma^\mu$  — четыре матрицы Дирака. Мы видим, что перейдя от одной частицы к другим, а затем вернувшись к исходной, мы обнаруживаем её в другой точке пространства-времени. Таким образом, суперсимметрия обобщает и углубляет специальную теорию относительности.

### 24.2 Спинорно–флейворные генераторы

Объединение геометрической и внутренней симметрии происходит, если „навесить“ на спинорный генератор некий „внутренний“ индекс  $i$  ( $1 \leq i \leq N$ ), указывающий в какую из частиц супермультиплета переходит исходная частица. Выделенный случай представляет собой  $N = 4$ . Это так называемая  $N=4$ -суперсимметрия. В этой теории одна частица с  $J=1$ , четыре с  $J=1/2$  и шесть с  $J=0$ . Всего восемь бозонных и восемь фермионных безмассовых состояний.

### 24.3 Лето 2011: Результаты поисков лёгких суперчастиц

Отрицательные результаты поисков лёгких (легче одного Тэв) суперчастиц (и других проявлений „новой физики“)

были представлены в докладах на упомянутых выше конференциях в Гренобле и Мумбае [19], [20], [21].

## 24.4 Перспективы

Каковы перспективы физики элементарных частиц после выяснения механизма нарушения электрослабой  $SU(2) \times U(1)$  симметрии при энергиях порядка ТэВ и расстояниях порядка  $10^{-19}$  м? Если суперсимметрия окажется непричастной к проблеме нарушения симметрии электрослабого взаимодействия, то вполне возможно, что её нарушение проявится лишь на планковской шкале (см. главу 27), а может быть и никогда не проявится. В этом случае следующей проблемой после объединения электромагнитного и слабого взаимодействий будет их объединение с сильным взаимодействием.

## Глава 25

# Великое объединение

Можно ли ожидать, что на ещё меньших расстояниях электромагнитное и слабое взаимодействие объединятся ещё более сильно в том смысле, что они будут описываться одной константой взаимодействия, а угол Вайнберга будет фиксирован какой-то более высокой симметрией? Можно ли ожидать, что при этом к ним присоединится и сильное хромодинамическое взаимодействие? То есть, что лептоны и кварки на малых расстояниях образуют „единую семью“? На каких масштабах — пространственно-временных и энергетически-импульсных — этого можно ожидать?

### 25.1 Бег трёх констант

Надежда получить положительный ответ на эти вопросы основывается на том, что на расстояниях порядка  $10^{-19}$  м три константы не так уж сильно отличаются друг от друга и проявляют тенденцию к дальнейшему сближению. Существуют теоретические модели такого объединения, в которых эти константы „сбегаются“ к единому значению

$$\alpha_{GU} = g_{GU}^2/4\pi \approx 1/40 \quad (25.1)$$

на расстояниях порядка  $10^{-32}$  м. (Здесь индекс  $GU$  от английского словосочетания Grand Unification.)

## 25.2 SU(5) симметрия

Простейшей моделью великого объединения является SU(5) симметрия. В ней лептоны и кварки каждого поколения принадлежат двум мультиплетам: 5-плету и 10-плету. Так, в первом поколении 5-плет состоит из  $(3\bar{d}_L, e_L^-, \nu_L)$ , а 10-плет состоит из  $(3d_L, 3u_L, 3\bar{u}_L, e_L^+)$ ; здесь индекс  $L$  означает левую киральность, коэффициент 3 означает три цвета.

В группе симметрии SU(5) имеется  $5^2 - 1 = 24$  векторных бозона. Двенадцать из них — глюоны,  $W^+$ ,  $W^-$ ,  $Z$  бозоны и фотон. Двенадцать других — очень массивные  $X$  и  $Y$  бозоны с массами порядка  $10^{15}$  ГэВ. Шесть  $X$  бозонов имеют заряды  $\pm\frac{4}{3}$ ; в 5-плете они осуществляют переходы между тремя  $\bar{d}$ -антикварками и электроном и обратно. Шесть  $Y$ -бозонов имеют заряды  $\pm\frac{1}{3}$ ; в 5-плете они осуществляют переходы между тремя  $\bar{d}$ -антикварками и нейтрино и обратно.

## 25.3 Распад протона и нейтрона

Рассмотрим теперь переходы в 10-плете под действием  $X$  и  $Y$  бозонов. Здесь  $X$  бозоны могут переводить  $u$ -кварки в  $\bar{u}$ -антикварки и обратно, а  $Y$ -бозоны могут переводить  $u$ -кварки в  $\bar{d}$ -антикварки и обратно.

Но это означает, что через  $X$  пара  $uu$  может превратиться в  $e^+\bar{d}$ , а через  $Y$  пара  $ud$  может превратиться в  $\bar{\nu}\bar{d}$ . Следовательно, мы получили переходы  $p \rightarrow e^+$  и  $n \rightarrow \bar{\nu}$ .

Разумеется, в силу закона сохранения энергии и импульса одинокий нуклон не может превратиться в одинокий лептон. Поэтому речь идёт о распадах типа  $p \rightarrow e^+\pi^0$ ,  $p \rightarrow e^+\pi^+\pi^-$ ,  $n \rightarrow \bar{\nu}\pi^0$ ,  $n \rightarrow e^+\pi^-$  и т.д. При этом должны стать нестабильными и обычные стабильные атомные ядра. Ожидаемое время таких распадов порядка  $10^{30}$  лет.

Поиски таких распадов в огромных многокилотонных детекторах не обнаружили их на уровне  $10^{32}$  лет и показали таким образом, что простейшая SU(5) модель не осуществляется в природе.

## 25.4 Другие симметрии

Идея великого объединения была рассмотрена с использованием других более сложных групп симметрии: от SO(10) до самой старшей из исключительных групп  $E_8$ . Некоторые из этих моделей стимулировали поиски новых экзотических процессов, таких, например, как нейтрон-антинейтронные осцилляции в вакууме. Но пока эти поиски не привели к новым экспериментальным открытиям. Так что я не буду в этом кратком тексте обсуждать другие симметрии.

## Глава 26

# Вблизи массы Планка

Характерная энергия великого объединения ( $\approx 10^{16}$  ГэВ) всего на три порядка меньше массы Планка, в районе которой гравитационное взаимодействие становится сильнее электрослабого и сильного взаимодействий. Так что здесь возникают условия для супервеликого объединения всех частиц и взаимодействий в рамках супергравитации.

Мультиплет  $N=8$  супергравитации содержит: 1 гравитон со спином 2, 8 гравитино со спином  $3/2$ , 28 ( $= 8 \cdot 7 / 1 \cdot 2$ ) бозонов со спином 1, 56 ( $= 8 \cdot 7 \cdot 6 / 1 \cdot 2 \cdot 3$ ) фермионов со спином  $1/2$  и 70 ( $= 8 \cdot 7 \cdot 6 \cdot 5 / 1 \cdot 2 \cdot 3 \cdot 4$ ) бозонов со спином 0; всего 128 бозонных и 128 фермионных безмассовых состояний. (Заметьте, что у частицы со спином ноль есть одно состояние, а у безмассовой частицы с ненулевым спином — два состояния.)

### 26.1 Суперструны

С начала 1980-х годов большинство теоретиков, занимающихся физикой на планковской шкале, работают над теорией суперструн. Суперструны — это гипотетические

одномерные объекты, имеющие размеры  $l$  порядка планковской длины  $l_P = 1/m_P \approx 10^{-35}$  м и характерное натяжение (энергию на единицу длины) порядка  $m_P^2$ , где  $m_P$  — масса Планка. Основному состоянию суперструны отвечают безмассовые (или практически безмассовые в масштабе  $m_P$ ) частицы. Возбуждённые состояния образуют бесконечный спектр уровней частиц с характерным шагом  $m_P$ .

Приставка „супер“ указывает на то, что спектр частиц, описываемых суперструной, обладает суперсимметрией: числа фермионных и бозонных возбуждений одинаковы, а их массы вырождены. Незамкнутым, открытым суперструнам („палочкам“) отвечают частицы со спином 1 и  $1/2$ . Замкнутым суперструнам („колечкам“) отвечают частицы со спином 2,  $3/2$ , 1,  $1/2$  и 0.

### 26.2 Десять измерений пространства

Для построения теории суперструн оказалось необходимым в каждой точке нашего пространства ввести ещё шесть (а с середины 1990-х годов — семь) дополнительных пространственных измерений, но в отличие от  $\mathbf{r}$  и  $t$  не прямолинейных, а свёрнутых с радиусом кривизны порядка длины Планка. Впервые дополнительное пространственное измерение было введено Калуцей в 1919 году для того, чтобы объединить классическую электродинамику Максвелла с общей теорией относительности Эйнштейна. Попытка эта не удалась так же, как попытка того же времени Вейля ввести классическую масштабную симметрию, которую он назвал калибровочной. В середине 1920-х годов дополнительная пространственная координата была использована Клейном для построения релятивистски инвариантного квантового уравнения и Фоком для обнаружения, что это уравнение для электрически заряженной частицы обладает квантовой фазовой инвариантностью, которую через несколько лет Вейль

назвал калибровочной.

### 26.3 М-теория

В середине 1990-х годов было показано, что различные модели суперструн могут быть синтезированы в рамках единой теоретической схемы, получившей название М-теория. Она включает, кроме одномерных струн, также многомерные мембраны, которые называют бранами. Работа над М-теорией продолжается.

### 26.4 Анти - де Ситтер

В современной космологической литературе имя математика и астронома Де Ситтера (1872-1934) прочно связано с представлением о пустом пространстве-времени, но не плоском, а обладающем кривизной. Если кривизна положительна, то такое пространство-время называют деситтеровским ( $dS$ ), ему отвечает положительная космологическая постоянная  $\Lambda$ . Если кривизна и  $\Lambda$  отрицательны, то пространство-время называют антидеситтеровским ( $AdS$ ). При этом обычно говорят о пятимерном суперпространстве  $AdS_5$ , в которое погружен наш четырёхмерный мир. Вводят такие понятия для того чтобы в будущем на их основе построить теорию всего сущего — Theory of Everything (ТОЕ). К сожалению, я не понимаю, почему такая квантовая теория должна основываться на чисто классическом понятии искривлённого пространства-времени.

## Глава 27

# ЗАКЛЮЧИТЕЛЬНЫЕ ЗАМЕЧАНИЯ

### 27.1 „Солнце всходит и заходит“\*

Недавние опросы населения в России и США обнаружили, что многие люди в обеих странах считают, что не только Луна, но и Солнце вращаются вокруг Земли. То, что Солнце всходит и заходит (вращается вокруг нас) это не ошибка, это поверхностная правда, которая во многом справедлива и для многих людей достаточна. Для человека, никогда не совершавшего далёких путешествий, во многом достаточно представление, что Земля плоская. Тот, кто совершил межконтинентальный перелёт, мог убедиться, что Земля — шар, но по-прежнему может считать, что Солнце является её спутником. Но есть и более глубокая правда: Земля — шар, Луна — меньший шар, который вращается вокруг Земли, и вместе они вращаются вокруг Солнца.

В повседневной жизни можно обходиться поверхностными правдами. Но это совершенно недопустимо при преподавании современной астрономии и физики. Когда профессор убеждает своих студентов, что в Большом Ад-



ронном Коллайдере масса протона возрастает в тысячи раз, он не проповедует поверхностную правду о повседневной жизни, а закладывает ложные понятия, основанные на пресловутой формуле  $E = mc^2$ , в представления своих студентов об основах теории относительности (см. книгу [25] и статью [26]).

## 27.2 О преподавании физики \*

Современная техника, квантовая и релятивистская, наглядно демонстрирует, что в основе своей квантовой и релятивистской является сама природа. Это — основной урок XX века. Всё большее число людей сознаёт, что мы живём в эпоху квантовой и релятивистской цивилизации. Поэтому простой взгляд на мир, не противоречащий современной физике, должен быть доступен максимальному числу людей с самого раннего возраста, даже тем, кто никогда не станет физиком. Только так можно будет избежать глобальной катастрофы.

## 27.3 О трагической судьбе SSC \*

В последние десятилетия XX века стало ясно, что основной нерешённой задачей физики высоких энергий является исследование хиггсовского сектора Стандартной Модели. В регулярно публикуемом „Обзоре свойств частиц“ в 1990 году можно было прочесть на стр III.12 о планах физического пуска трёх протон-протонных коллайдеров: 1) Ускорительно-Накопительного Комплекса UNK (3 ТэВ, 1995?), 2) Большого Адронного Коллайдера LHC (8 ТэВ, 1996?), 3) Сверхпроводящего Суперколлайдера SSC (20 ТэВ, 1999), которым предстояло решить эту задачу. У двух первых из них даты пуска сопровождались вопросительными знаками. У третьего — Сверхпроводящего Суперколлайдера SSC, который должен был иметь самую высокую энергию — 20 ТэВ в каждом пучке, вопросительного знака не было. Строительство тоннеля для этого коллайдера — кольца диаметром 87 км шло пол-

ным ходом у городка Ваксахахи вблизи Далласа. Если бы этот проект был осуществлён, Стандартная Модель элементарных частиц, возможно, перестала бы быть моделью, а стала бы законченной теорией. А может быть, что ещё интересней, было бы обнаружено существование „новой физики“, не укладывающейся в рамки стандартной модели. Но в 1993 году конгресс США при обсуждении бюджета на 1994 год отправил на дно этот строившийся флагман физики высоких энергий, что нанесло сильнейший удар по развитию физики элементарных частиц (см. письмо Клинтона [22], так и не получившее статуса пресс-релиза Белого дома). В автобиографии Клинтона [23] обсуждение бюджета описано, но SSC не упоминается. Зато в 2011 году он посвятил заключительную часть своей лекции в Давосе SSC(LHC)(см. [24]).

За пару лет до закрытия SSC в России были прерваны работы по строительству Ускорительно-Накопительного Комплекса УНК, в котором должны были сталкиваться протонные пучки с энергией 3 ТэВ. Из Тэвнских машин долгие годы (1985 - 2011) успешно работал лишь Тэватрон в США. В нём сталкивались пучки протонов и антипротонов с энергией 1 ТэВ.

## 27.4 LHC и перспективы \*

Как сказано выше (в главе об электрослабой модели), сейчас поиски хиггсов ведутся на Большом Адронном Коллайдере LHC. Пока обнаружить хиггсы не удалось. Возможно, что в ближайшем будущем их удастся найти на LHC. Это конечно будет триумфом электрослабой модели. Но в известном смысле гораздо интереснее будет, если на LHC будет доказано, что хиггсов с массами легче 1 ТэВ не существует. Это означало бы, что  $W$ - и  $Z$ - бозоны при энергиях существенно выше, чем 1 ТэВ, взаимодействуют по-настоящему сильно, и описать их поведение в рамках теории возмущений нельзя. Для экспериментального исследования таких взаимодействий

понадобился бы коллайдер масштаба SSC или ещё большей энергии. В существующей электрослабой модели, основанной на теории возмущений, существует около двух дюжины параметров, численные значения которых мы объяснить (т.е. вычислить) не можем. Возможно это удастся сделать, если выйти за рамки теории возмущений.

## 27.5 О сути и истине в науке \*

Мне кажется, что большинство людей не понимает сути современной науки не потому, что эта суть непостижима. Конечно понять хоть что-нибудь до конца нельзя. Но иметь правильное представление о природе можно и нужно. Если отобразить в современной физике главные идеи, то можно объяснить ученику, как устроен окружающий его мир.

К сожалению, профессорам трудно договориться между собой о том, какие идеи в физике являются главными. Меня поражает неспособность многих профессиональных физиков признать, что в специальной теории относительности масса не зависит от скорости, и терпимость тех из них, кто не сомневается в том, масса не зависит от скорости, к тому, чтобы их детей и внуков продолжали учить, что масса зависит от скорости.

Ещё больше меня поражает почти всеобщее восприятие квантовой механики как науки, сквозь призму которой наш мир выглядит призрачно зыбким. А ведь именно благодаря квантовой механике он так прочно устроен.

Мне кажется предвзятым отношение многих физиков к вопросу о гравитации и гравитонах. Сегодня очень модно (см. например [27],[28]) объяснять всё — от свойств элементарных частиц до фазовых переходов — с помощью чёрных дыр и суперструн. Возможно, что со временем такая Теория Всего (ТОЕ — Theory of Everything) и будет создана, но пока в ней ещё слишком много недоделанного [29] и не существует экспериментальных данных,

подтверждающих справедливость ТОЕ. Так что не с изучения этой недостроенной теории должен начинать своё знакомство с физикой школьник.

А вот начинать его с твёрдо установленных основных констант природы — скорости  $c$  и кванта  $\hbar$  — не только можно, но и нужно. Именно законы, содержащие эти константы, объясняют основные явления природы.

Очень важно понимание того, что истина существует, даже если нам не дано постичь окончательную истину. Что задача науки — стремиться к истине, всё более приближаясь к ней.

## Глава 28

# Постскриптум 1

22 сентября 2011 года вышел препринт коллаборации ОПЕРА [30], в котором полторы сотни авторов из нескольких десятков институтов сообщили, что скорость мюонного нейтрино  $v_\mu$  в пучке ЦЕРН — Гран Сассо превосходит скорость света в вакууме  $c$ . Согласно [30],  $(v - c)/c = 2,48(0,28)[0,30] \cdot 10^{-5}$ , где в круглых скобках указана статистическая неточность, а в прямоугольных скобках указана систематическая неточность. Согласно [30] нейтрино преодолевают расстояние 730 км между CERN и Gran Sasso на  $60,7(6,9)[7,4]$  наносекунд быстрее, чем если бы они двигались со скоростью  $c$ . Свет при этом как бы отстал от нейтрино примерно на 20 м.

При первом, беглом чтении препринта я не понял, как с помощью спутниковой системы GPS можно было установить с такой точностью момент рождения нейтрино от распада пиона в километровом тоннеле CERN. При более внимательном чтении я осознал, что измерялось по существу время между детектированием протонного сгустка в кольце ускорителя в ЦЕРН перед сбросом пучка на мишень, где протоны рождали пионы, и детектированием нейтрино в Гран Сассо. Так можно было делать, поскольку все частицы имеют скорости, близкие к  $c$ . Возможно,

стоило бы привести и обсудить данные, полученные на детекторе мюонов, сопровождающих рождение нейтрино в ЦЕРН.

Статья оказалась неудобочитаемой: она перегружена десятками акронимов, в которых тонут скупые разъяснения. А подробные разъяснения и тщательный анализ возможных систематических ошибок необходимы.

Замечу лишь, что все системы и прецизионные приборы, используемые авторами, основаны на теории относительности и квантовой теории. Статья, претендующая на проверку теории относительности, должна быть написана по-другому.

## Глава 29

### Постскрипtum 2

Заканчивая писать этот краткий путеводитель по физике, я хотел бы ответить тем моим коллегам, которые прислали мне свои критические замечания о рукописи и которых я благодарю в предисловии. Все они согласны с тем, что такой краткий путеводитель нужен, но многие из них считают, что написанный мной текст слишком краток, что необходимо его существенно расширить, упомянув большее число выдающихся физиков, внесших вклад в развитие физики, и существенно расширить список литературы. А с другой стороны, большинство из них считают, что текст должен быть сделан более популярным и что он должен быть снабжён иллюстрациями. К сожалению, выполнить эти во многом справедливые пожелания за отведённое мне время я не могу.

## Литература

- [1] S. Weinberg, Gravitation and Cosmology: Principles and Applications of the General Theory of Relativity. John Wiley 1972  
С. Вейнберг, Гравитация и Космология: Принципы и Приложения Общей Теории Относительности. Издательство „Мир“ 1975
- [2] S. Weinberg, The Quantum Theory of Fields, Volume I. Foundations. Cambridge University Press 2000  
С Вайнберг. Квантовая теория поля. Том 1. Общая Теория. М. Физматлит 2003
- [3] S. Weinberg, The Quantum Theory of Fields, Volume II. Modern Applications. Cambridge University Press 2001  
С Вайнберг. Квантовая теория поля. Том 2. Современные приложения. М. Физматлит 2003
- [4] Я. Б. Зельдович, Высшая математика для начинающих и её приложения к физике. Москва, Физматлит, Издание шестое, 2007
- [5] Р. Фейнман, Р. Лейтон, М. Сэндс, Фейнмановские лекции по физике. 6. Электродинамика. Глава 19. УРСС. 2004

- [6] K. Nakamura et al. (Particle Data Group), J. Phys. G 37, 075021 (2010), Periodic Table  
<http://pdg.lbl.gov/2010/reviews/rpp2010-rev-periodic-table.pdf>  
<http://periodic.lanl.gov/>
- [7] J Loschmidt  
<http://www.chemteam.info/Chem-History/Loschmidt-1865.html>  
 J Perrin  
[http://nobelprize.org/nobel\\_prizes/physics/laureates/1926/press.html](http://nobelprize.org/nobel_prizes/physics/laureates/1926/press.html)
- [8] А. И. Ахиезер, В.Б. Берестецкий, Квантовая Электродинамика.
- [9] Н.Н. Боголюбов, Д.В. Ширков, Введение в теорию квантованных полей
- [10] K. Nakamura et al. (Particle Data Group), J. Phys. G 37, 075021 (2010), Table 1.1  
<http://pdg.lbl.gov/2010/reviews/rpp2010-rev-phys-constants.pdf>
- [11] К. У. Аллен, Астрофизические величины. Москва, Мир, 1977 ( Единицы: § 12, Массы, светимости, радиусы и плотности звёзд: § 100, Галактики: § 135)
- [12] Richard Powell, Atlas of the Universe  
<http://www.atlasoftheuniverse.com/index.html>
- [13] Л. Б. Окунь, К. Г. Селиванов, В. Л. Телегди, Гравитация, фотоны, часы. УФН, **169** (1999) 1141-1147  
<http://www.itep.ru/theor/persons/lab180/okun/list25/8selivanovtelegdi99.pdf>

- L. B. Okun, K. G. Selivanov, V. L. Telegdi, On interpretation of the redshift in a static gravitational field. American Journal of Physics **68** (2000) 115-119  
[http://www.itep.ru/theor/persons/lab180/okun/em\\_13.pdf](http://www.itep.ru/theor/persons/lab180/okun/em_13.pdf)
- L.B. Okun, Photons and static gravity. Modern Physics Letters A **15** (2000) 1941-1947  
[http://www.itep.ru/theor/persons/lab180/okun/em\\_14.pdf](http://www.itep.ru/theor/persons/lab180/okun/em_14.pdf)
- [14] Л.Б. Окунь, Лептоны и кварки. М Наука 1990, глава 27 Частицы и вселенная
- [15] S. Weinberg, The first three minutes. Basic Books, Inc., Publishers 1977  
 С. Вайнберг. Первые три минуты. Эксмо. 2011
- [16] Proceedings of International Simposium *pnA50* The Jubilee of the Sakata Model. November 25-26, 2006, Nagoya, Japan. Editors M. Harada, Y. Ohnuki, S. Sawada, K. Yamawaki. Progress of Theoretical Physics, Supplement No 167, 2007, which contains a contribution by L. B. Okun, The Impact of the Sakata Model (arXiv: hep-ph/0611298).
- [17] Michael E. Peskin. Simplifying Multi-Jet QCD Computation. arXiv:1101.2414
- [18] Results on higgs at Grenoble  
 LHC searches for higgs:  
<http://indico.in2p3.fr/materialDisplay.py?contribId=985&sessionId=16&materialId=slides&confId=5116>  
 Tevatron searches for higgs:  
<http://indico.in2p3.fr/materialDisplay.py?contribId=984&sessionId=16&materialId=slides&confId=5116>

- [19] New physics at Grenoble  
 new physics at Tevatron  
<http://indico.in2p3.fr/materialDisplay.py?contribId=953&sessionId=16&materialId=slides&confId=5116>  
 highlights and searches at CMS  
<http://indico.in2p3.fr/materialDisplay.py?contribId=954&sessionId=16&materialId=slides&confId=5116>  
 highlights and searches at ATLAS  
<http://indico.in2p3.fr/materialDisplay.py?contribId=955&sessionId=16&materialId=slides&confId=5116>
- [20] All talks at the Grenoble Conference  
<http://indico.in2p3.fr/contributionListDisplay.py?trackShowNoValue=1&OK=1&sortBy=number&sessionShowNoValue=1&selTracks=0&selTracks=1&selTracks=2&selTracks=3&selTracks=4&selTracks=5&selTracks=6&selTracks=7&selTracks=8&selTracks=9&selTracks=10&sc=21&selTypes=4&selSessions=6&selSessions=8&selSessions=9&selSessions=10&selSessions=11&selSessions=13&selSessions=14&selSessions=3&selSessions=1&selSessions=12&selSessions=15&selSessions=16&order=down&confId=5116#contribs>
- [21] M. Peskin, Summary talk at Lepton-Photon 2011  
 arXiv:1100.3805
- [22] President William J. Clinton on SSC (June 1993)  
<http://www.presidency.ucsb.edu/ws/index.php?pid=46703#axzz1UqKNr5Bs>

- [23] Bill Clinton, My life. Alfred Knopf, N Y 2004  
 Билл Клинтон, Моя жизнь. Альпина Бизнес Букс, М. 2005
- [24] William J. Clinton speaks at Davos 2011 about LHC. The last three minutes (54:30 - 57:00)  
<http://www.youtube.com/watch?v=p2dT7xVS6-s>
- [25] Lev B Okun, Energy and Mass in Relativity Theory. World Scientific. 2009.
- [26] L. B. Okun, The “ relativistic” mug. arXiv: 1010.5400  
 Опубликовано в “Gribov-80 Memorial Volume: Quantum Chromodynamics and Beyond” Yu L Dokshitzer, P Levai, J Nyri Editors. World Scientific. 2011, pp 439-448.
- [27] Brian Greene, The Hidden Reality. Alfred A Knopf, N Y 2011  
 Lecture at Boston Museum of Science March 2 2011  
<http://www.youtube.com/watch?v=fJqpNudIss4&NR=1>
- [28] Brian Greene, The Fabric of the Cosmos  
<http://www.youtube.com/watch?v=4SYsDst5Sz0>  
[http://www.youtube.com/watch?v=5u\\_rYmDbfDo](http://www.youtube.com/watch?v=5u_rYmDbfDo)
- [29] S. Weinberg, Particle Physics, from Rutherford to the LHC,  
 Physics Today August 2011 29-33.
- [30] T. Adams et al, Measurement of the neutrino velocity with OPERA detector in the CNGS beam.  
 arXiv:1109.4897.

## Акронимы

БАК (LHC) — Большой Адронный Коллайдер  
КГД — Квантовая гравитодинамика,  
КХД — Квантовая хромодинамика,  
КЭД — Квантовая электродинамика,  
ОИЯИ — Объединённый институт ядерных исследований  
ОТО — Общая теория относительности,  
СТО — Специальная теория относительности,  
ССК (SSC) — Сверхпроводящий Супер Коллайдер  
УНК — Ускорительно-Накопительный Комплекс  
ЦЕРН — Европейский центр ядерных исследований CERN  
— (Centre) Organisation Européen de Recherche Nucléaire  
CAC — conserved axial current  
PCAC — partially conserved axial current

## Указатель

$\alpha$  Центавра, 59  
 $\alpha$ -лучи, 73  
 $\alpha \approx 1/137$ , 31  
 $\alpha_{GU}$ , 106  
 $\beta$ -лучи, 73, 74  
 $\beta$ -распад, 74  
 $\epsilon$  — электрическая проницаемость среды, 54  
 $\epsilon_0$  — диэлектрическая проницаемость вакуума, 55  
 $\gamma$  — фотон, 2  
 $\gamma$ -лучи, 73  
 $\gamma$ -матрицы, 26  
 $\mu$  — магнитная проницаемость среды, 54  
 $\mu_0$  — магнитная проницаемость вакуума, 55  
 $\sigma$ -матрицы, 27  
 $\varphi\psi\chi$  — фисис — природа, i  
 $s, p, d, f$  оболочки в атомах, 36

$c$  — главная константа теории относительности, i  
 $c$  — максимальная скорость прямолинейного и равномерного движения, 1  
 $c$  — скорость света, ii  
C — зарядовое сопряжение, 83  
CAC — сохраняющийся аксиальный ток, 93  
CMB — Cosmic Microwave Background, космический микроволновой фон, 66  
CPT-инвариантность, 84

$e$  — электрон, 2  
 $E_8$ , 107  
 GPS, 116  
 $\hbar$  — главная константа квантовой механики, i  
 $\hbar$  — квант Планка, ii  
 $\hbar$  — минимальный квант вращения, 1  
 $\hbar$  и квантование вращения, 18  
 $i$  — мнимая единица, 7  
 LHC, 113  
 LHC — Большой Адронный Коллайдер, 100  
 $p$  — протон, 2  
 $P$  — пространственное (зеркальное) отражение, 84  
 PCAC — частично сохраняющийся аксиальный ток, 93  
 $SO(10)$ , 107  
 SSC — Сверхпроводящий Суперколлайдер, 100, 113  
 $SU(5)$ , 106  
 supersymmetry, 102  
 SUSY, 102  
 $T$  — обращение времени, 84  
 TOE — Theory of Everything, 110, 115  
 UNK, 113  
 V-A слабый универсальный ток, 85  
 W-бозоны, 95  
 X- и Y- бозоны в  $SU(5)$ , 106  
 Z-бозон, 95  
 абстракция в физике, 9

адроны, 92  
 акронимы, 124  
 аксиальный вектор, 17  
 актиниды, 39  
 актиний, 39  
 аморфные тела, 42  
 амплитуда перехода, iv  
 ансамбль в квантовой механике, iv  
 антидеситтеровское пространство, 110  
 антикоммутатор, 103  
 антикоммутатор спинорных генераторов, 103  
 антинейтрон, 46  
 антипротон, 48  
 античастицы, 46  
 аргон, 37  
 астероиды, 58  
 астрономическая единица (а.е.), 58  
 атом, 3  
 атом водорода, 31  
 БАК — Большой Адронный Коллайдер, 113  
 барионное квантовое число, 46  
 бег трёх констант, 105  
 белый карлик, 59  
 благородные газы, 38  
 бозоны, 20  
 бозоны X и Y в  $SU(5)$ -симметрии, 106  
 Большой Взрыв, 65  
 валентность, 43  
 вековая прецессия перигелия Меркурия, 68  
 великое объединение, 105  
 вещество, 2  
 взаимодействие электрона и протона, 32  
 виртуальные гравитоны, 69  
 виртуальные частицы, 47  
 внутреннее строение Земли, 57



водная оболочка Земли , 57  
 водород, 36  
 волновая функция, 25  
 волновое число, 21  
 волновой вектор, 21  
 время жизни  $\tau$  , 23  
 время полураспада  $\tau_{1/2} = \tau \ln 2$ , 23  
 второй период в периодической системе элементов, 37  
  
 газы, 40  
 Галактика, 59  
 галактики, 59  
 гамильтониан, 25  
 гамма-всплеск, 64  
 гелий, 36  
 гипотеза о сосуществовании множества миров, 24  
 гипотеза о сохранении CP симметрии, 85  
 гипотеза сохраняющегося векторного тока, 85  
 главное квантовое число  $n$   
   -, 32  
   - в атомах периодической системы элементов, 36  
   - в атоме водорода, 32  
   - для многоэлектронных атомов, 36  
 глобальная катастрофа, 112  
 глюоны, 92  
 Гпс, 60  
 гравитационное смещение длины волны фотона, 68  
 гравитационный радиус, 70  
 гравитон,  $iv$   
 градус Кельвина, 41  
 градус Цельсия, 41  
 ГэВ — гига-электрон-вольт, 30  
  
 дальний порядок, 43  
 две щели, 24  
 движение, 3  
 действие, 27

декуплет барионов, 81  
 деситтеровское пространство, 110  
 десятимерное пространство, 109  
 дефект массы, 20  
 джоуль, 29  
 диаграмма Фейнмана  
   - для ионизации позитрония фотоном, 50  
   - для нормального магнитного момента электрона,  
     50  
   - для поляризации вакуума фотоном, 52  
   - для радиационной поправки к магнитному моменту  
     электрона, 51  
   - для рассеяния электрона на протоне, 47  
   - для рождения протона и антипротона при столк-  
     новении электрона и позитрона, 49  
 диаграммы Фейнмана, 47  
 дифференцирование, 8  
 диэлектрики, 42  
 длина Планка, 109  
 длина волны, 21  
 днк, 40  
  
 единицы, 4  
 единицы времени и длины, 5, 10  
 единицы  
   - в которых  $\hbar=1$ , 30  
   - в которых  $c=1$ , 30  
  
 жидкая мантия, 57  
 жидкая фаза, 42  
 жидкий гелий, 43  
 жидкость, 40  
 жизненный путь Солнца, 59  
  
 закон Ньютона, 58  
 земная кора, 57  
 зеркальные частицы, 87

изоляторы, 42  
 изотопическая симметрия, 74  
 изотопический спин, 74  
 изотопы, 35  
 изотропия пространства, 2, 17  
 импульс в механике Ньютона, 11  
 интегрирование, 8  
 интервал, 13  
 инфинитное движение, 32  
 инфляция, 65  
 ионизация атома, 32  
 ионизация позитрония, 50  
 испарение воды, 40  
 испускание фотона, 32  
 истинно нейтральные частицы, 46  
  
 калибровочная инвариантность Фока-Вейля, 109  
 калибровочная симметрия, 99  
 калий, 37  
 квазар, 64  
 квазичастица, 44  
 квант Планка  $\hbar$ , ii  
 квантование спина и орбитального момента, 19  
 квантовая и релятивистская Природа, 112  
 квантовое состояние, iv  
 КГД — квантовая гравидинамика, 69  
 кинетическая энергия в механике Ньютона, 10  
 киральная симметрия, 93  
 киральный предел, 93  
 Клинтон о SSC и LHC, 113  
 книга Вейнберга ‘Первые три минуты’, 66  
 книга Зельдовича ‘Высшая математика для начинающих’, 8  
 ковариантный вектор, 26  
 комплексное число, 7  
 конденсированное вещество, 40, 42  
 константа  $\alpha$ , 31

константа Больцмана, 41  
 константа Ньютона, iv, 58, 69  
 константа Ферми  $G_F$ , 95  
 константа Хаббла, 62  
 константы  $c$  и  $\hbar$  как путеводные звёзды, v  
 контравариантный вектор, 26  
 космологическая постоянная  $\Lambda$ , 110  
 кпс, 60  
 красное и синее гравитационное смещение, 63  
 красное смещение, 63  
 красный гигант, 59  
 кривизна пространства, 110  
 криптон, 37  
 кристаллизация, 42  
 кристаллы, 42  
 ксенон, 37  
 КХД, 94  
 КХД — квантовая хромодинамика, 92  
 кэВ — кило-электрон-вольт, 30  
 КЭД — квантовая электродинамика, iii, 45  
  
 лантан, 39  
 лантаниды, 39  
 линейная суперпозиция, 25  
 литий, 37  
 Лоренц, 12  
 Луна, 58  
  
 магнитная индукция  $\mathbf{B}$ , 54  
 магنون, 44  
 максимальная скорость  $c$ , 10  
 масса Луны, 58  
 масса Планка, iv, 109  
 масса Солнца  $M_\odot$ , 58  
 масса покоя  $m_0$ , iii  
 масса протона, 15  
 масса фотона, 15

масса частицы в теории относительности, 15  
 масса электрона, 15  
 'массивная точка', 2  
 массовая поверхность, 47  
 массы кварков, 94  
 массы пионов, 93  
 масштабная инвариантность Вейля, 109  
 'материальная точка', 2  
 материя, 2  
 матрицы, 8  
 матрицы Дирака, 26  
 матрицы Паули, 27  
 мембраны, 110  
 металлы, 42  
 метрический тензор Шварцшильда, 70  
 Минковский, 12  
 модели суперструн, 110  
 модель Сакаты, 80  
 модель сакатонов, 80  
 молекулы, 40  
 море Дирака, 49  
 Мпс, 60  
 М-теория, 110  
 мультиплет  $N=8$  супергравитации, 108  
 мэВ — милли-электрон-вольт, 30  
 МэВ — мега-электрон-вольт, 30  
  
 натрий, 37  
 нейтральный ток, 95  
 нейтрон, 35  
 нейтронная звезда, 61  
 неоднократное уменьшение массы частицы в 10 раз, 12  
 неон, 37  
 нерелятивистская механика как частный случай релятивистской механики, 12  
 несохранение CP симметрии, 87  
 несохранение зарядовой симметрии C, 84

несохранение зеркальной симметрии P, 84  
 неупругая ситуация, 32  
 неупругое рассеяние, 32  
 нуклоны, 74  
 Ньютон об океане непознанного, v  
  
 однородность времени, 2, 10  
 однородность пространства, 2, 10  
 октет барионов, 81  
 ОПЕРА, 116  
 оператор Гамильтона, 25  
 оператор импульса, 25  
 оператор энергии, 25  
 опыт в башне Гарвардского университета, 63  
 опыты с двумя щелями, 24  
 орбитальное вращение, 16  
 орбитальное квантовое число  $l$ , 36  
 орбитальное квантовое число  $l$  в в атоме водорода, 33  
 орбитальный момент в теории относительности, 18  
 отклонение света гравитационным полем, 68  
 открытие высокотемпературной сверхпроводимости, 43  
 открытие сверхпроводимости, 43  
 открытие сверхтекучести, 43  
  
 парсек, 60  
 первый период в периодической системе элементов, 36, 37  
 периодическая система химических элементов, 35, 120  
 плазмон, 44  
 планетарная туманность, 59  
 плоскость земной орбиты, 58  
 поверхностная правда, 111  
 повторяющиеся ('немые') индексы, 26  
 поглощение фотона, 32  
 позитрон, 46, 48  
 позитроний, 49  
 поиски хиггса, 100

полупроводники, 42  
 поляризация вакуума, 51  
 полярон, 44  
 поступательное движение, 3  
 потенциальная энергия в механике Ньютона, 10  
 потенциальная энергия электрона в атоме водорода, 31  
 пояс астероидов, 58  
 преобразование Галилея, 12, 13  
 преобразование Лоренца, 13  
 пресловутая формула  $E = mc^2$ , 112  
 пресловутая формула  $E = mc^2$  и зависимость массы частицы от её скорости, iii  
 принцип Ферма, 27  
 принцип наименьшего действия, 27  
 проводники, 42  
 проекция орбитального квантового числа  $m_l$ , 33, 36  
 проекция спина, 33  
 проекция спина  $m_s$ , 36  
 промежуточные бозоны, 95  
 пространство Анти - де Ситтера  $AdS$ , 110  
 пространство Минковского, 12  
 пространство де Ситтера  $dS$ , 110  
 пространство и время, 2  
 пространство и время в теории относительности, 12, 13  
 протон, 2  
 псевдовектор, 17  
 Пуанкаре, 12  
 пульсар, 61  
 пятимерное пространство-время Калуцы-Клейна, 109  
 пятый период в периодической системе элементов, 37  
  
 радиан, 4  
 радиус Солнца, 58  
 радиус-вектор  $\mathbf{r}$ , 2  
 радон, 38  
 различные смыслы термина импульс, 11

размерности массы, энергии и импульса одинаковы в единицах, в которых  $c = 1$ , 30  
 распады протонов и нейтронов, 106  
 расстояние от Солнца до Земли, 58  
 реальные частицы, 47  
 редукция волновой функции, iv  
 ротон, 44  
 ртуть, 42, 43  
 рубидий, 37  
  
 сверхпроводимость, 43  
 'сверхсветовые нейтрино', 116  
 сверхтекучесть, 43  
 световой год, 60  
 свободная частица, 9  
 седьмой период в периодической системе элементов, 38  
 семь периодов таблицы Менделеева, 37  
 симметрия  $SU(5)$ , 106  
 Сириус, 59  
 система единиц СИ, 29, 55  
 скорость, 3  
 случай и теория вероятностей, 23  
 событие, 2  
 Солнечная система, 58  
 'Солнце — спутник Земли?', 111  
 соотношение  $E^2/c^4 - \mathbf{p}^2/c^2 = m^2$ , ii  
 соотношение де Бройля, 21  
 соотношения неопределённости Гейзенберга, 24  
 сохранение импульса, 10  
 сохранение энергии, 10  
 сохраняющийся аксиальный ток, 93  
 спин, 19  
 спиновое вращение, 16  
 спинорно-флейворные генераторы, 103  
 спинорный генератор  $Q$  в суперсимметрии, 102  
 спонтанное нарушение симметрии  $SU(2) \times U(1)$ , 99  
 средняя энергия молекул воздуха, 41

Стандартная модель элементарных частиц, 1  
 стекло, 42  
 степени десяти, 7  
 столбцы периодической таблицы элементов, 38  
 суперсимметрия, 102  
 суперструны, 109

тёмная материя, 66, 87  
 тёмная энергия, 67  
 Таблица Менделеева, 35  
 таяние льда, 40  
 твёрдая фаза, 42  
 твёрдое вещество, 40  
 температура, 41  
 температура Земли, 57  
 термы оптических спектров, 36  
 тождественность атомов, 18, 20  
 тождественность частиц, 18  
 третий период в периодической системе элементов, 37  
 три канонических эффекта ОТО, 68  
 три координаты в пространстве, 2  
 три элементарные частицы материи:  $e, \gamma, p$ , 2  
 ТэВ — тера-электрон-вольт, 30  
 Тэватрон, 113

угловые единицы, 4  
 угол Вайнберга, 95  
 УНК — Ускорительно-Накопительный Комплекс, 113  
 упругая ситуация, 32  
 упругое рассеяние, 32  
 уравнение Дирака, 26  
 уравнение Клейна-Фока-Гордона, 25  
 уравнение Шрёдингера, 25

фазовые переходы, 40, 43  
 фермионы, 20  
 финитное движение, 32

фонон, 44  
 формула Эйнштейна  $E_0 = mc^2$ , 14  
 фотино, 102  
 фотон, 2  
 франций, 38

цвета антикварков, 92  
 цвета кварков, 92  
 цезий, 38  
 центр Галактики, 59  
 ЦЕРН, 100

чёрная дыра, 61, 64, 70  
 частота частицы-волны, 22  
 четвёртый период в периодической системе элементов, 37  
 четырёхмерный интервал, 13  
 четыре действия школьной математики, 7  
 четыре квантовых числа электрона в атоме  $n, l, m_l, m_s$ , 36  
 число Лошмидта, 41

шестой период в периодической системе элементов, 38  
 шкала Планка, 109

щелочно-земельные элементы, 38  
 щелочные металлы, 38

эВ — электрон-вольт, 30  
 Эйнштейн, 12  
 эклиптика, 58  
 экситон, 44  
 эксперимент ОПЕРА, 116  
 электрическая индукция  $\mathbf{D}$ , 54  
 электрон, 2  
 электрон-вольт, 11, 29  
 электрослабая теория, 95  
 элементарное квантовое состояние, 20

## УКАЗАТЕЛЬ

элементарные частицы материи, 2

энергия в механике Ньютона, 10

энергия и импульс в теории относительности, 13

энергия покоя  $E_0$ , 14

энергия связи, 20

Юпитер, 58

яблоко Ньютона, 58

ядро Земли, 57